



Instituto Tecnológico
GeoMinero de España

152

APOYO GEOFISICO A LAS INVESTIGACIONES DEL ITGE

**ENSAYOS DEL MÉTODO GEOFÍSICO DE LOS SONDEOS EM
DE DOMINIO DE TIEMPOS (SEDT) PARA EL ESTUDIO DE
LA INTRUSIÓN MARINA EN LOS ACUIFEROS DEL
CAMPO DE DALIAS.**

Diciembre-95



SECRETARIA GENERAL DE LA ENERGIA Y RECURSOS MINERALES
MINISTERIO DE INDUSTRIA Y ENERGIA

ÍNDICE

1.	ANTECEDENTES Y OBJETIVOS	1
2.	TRABAJO REALIZADO	5
2.1.	Metodología	5
2.2.	Descripción del trabajo realizado	7
2.2.1.	Procesado de los datos y presentación de resultados	9
3.	COMENTARIOS A LOS RESULTADOS	11
4.	CONCLUSIONES Y RECOMENDACIONES	30

ANEXOS

Nº 1. Localización de los puntos de medida. E. 1/10.000

Nº 2 . Información relativa a los sondeos mecánicos

Nº 3. Explicaciones de GEONICS

F I G U R A S

- Nº 1. Distribución de las ventanas de medida del equipo PROTEM en función de la frecuencia
- Nº 2. Interpretación del SEDT 2
- Nº 3. Interpretación del SEDT-2B
- Nº 4. Interpretación del SEDT-5
- Nº 5. Discrepancias entre los SEDT 9 y 9B
- Nº 6. Interpretación del SEDT-9
- Nº 7. Interpretación del SEDT-9B
- Nº 8. Curva de resistividad aparente del SEDT-10
- Nº 9. Interpretación del SEDT-10B
- Nº 10. Curva de resistividad aparente del SEDT-11
- Nº 11. Interpretación del SEDT-11 con dos y tres capas
- Nº 12. Interpretación del SEDT-14
- Nº 13. Curva de potencial normalizado (medidas reales) del SEDT-14

1. ANTECEDENTES Y OBJETIVOS.

Los trabajos descritos en este Informe constituyen parte de las mejoras técnicas ofrecidas por INTERNATIONAL GEOPHYSICAL TECHNOLOGY, S.A. en su Oferta para la ejecución del Proyecto «Apoyo a las investigaciones del ITGE».

Uno de los campos de actuación del proyecto mencionado es el estudio de la evolución, espacial y temporal, de la calidad de las aguas subterráneas del Campo de Dalías afectadas por un proceso de salinización originado por su sobreexplotación. Para ello se han llevado a cabo diversas campañas de registros geofísicos (Conductividad y Temperatura) en sondeos aplicando una metodología de trabajo que se describe en los correspondientes informes y que no hace al caso repetir aquí.

Otra posibilidad de estudio de la intrusión marina mediante técnicas de prospección geofísica es la ejecución de medidas de resistividad del subsuelo en alguna de sus múltiples variantes. Concretamente el estudio de la distribución de resistividad del subsuelo en la vertical del punto de medida (sondeo eléctrico) es una de las consideradas a priori como más atractivas y de hecho existen diversas referencias en la bibliografía al respecto. De entre las diferentes modalidades de ejecución de los sondeos eléctricos son dos las alternativas que a priori pueden considerarse de interés para la zona de estudio, en función principalmente de su capacidad para investigar el rango de profundidad requerido en este caso:

- Sondeo Eléctrico Vertical (SEV)
- Sondeo Electromagnético de Dominio de Tiempos (SEDT)

La aplicación de estas técnicas al estudio de la intrusión se basa en el hecho de que existe una acusada dependencia entre resistividad y salinidad de las disoluciones, de modo que la salinización de un acuífero conlleva una importante disminución en sus valores de resistividad. Sin embargo las variaciones de resistividad asociadas a las correspondientes modificaciones en la salinidad de las disoluciones que llenan el espacio poral de las formaciones rocosas, no siempre son identificables de forma inequívoca porque en ciertos casos pueden quedar enmascaradas por la influencia de las diferentes unidades litológicas con valores de resistividad muy dispares.

Así pues las medidas de resistividad mediante sondeos eléctricos constituyen una técnica atractiva para el estudio de la intrusión marina pero sus resultados no siempre son directamente interpretables en los términos de interés para el tipo de problema planteado.

La selección de la modalidad operativa (SEV o SEDT) más adecuada para cada caso depende tanto de factores asociados al modelo geológico de la zona de estudio y profundidad a investigar como de los aspectos logísticos de la misma.

Para el caso concreto del Campo de Dalías existen dos aspectos relevantes que hacen a priori interesante al método de los SEDT para el estudio de la intrusión mediante medidas realizadas en la superficie del terreno. Son los siguientes:

- a) Desde el punto de vista geológico y al margen del fenómeno de la intrusión, puede catalogarse la zona de estudio como un modelo complejo en términos litológicos y estructurales. En esta situación es conveniente que las medidas de resistividad sean lo más focalizadas posible al objeto de minimizar al efecto de los cambios laterales de resistividad que pueden distorsionar las medidas enmascarando la posible influencia de la intrusión.
- b) La zona de trabajo está densamente ocupada por instalaciones y edificaciones de tipo industrial y por vías de comunicación con abundante tráfico. En esta situación resulta muy difícil, o incluso inviable, el tendido de cables de gran longitud como requeriría el dispositivo de

medida de los SEV, al tratar de alcanzar profundidades de investigación de algún centenar de metros.

Las medidas efectuadas mediante SEDT son más focalizadas que las obtenidas mediante SEV. Básicamente son representativas del volumen rocoso situado en la vertical del bucle transmisor localizado sobre el terreno. Por otra parte el tamaño de este bucle es relativamente pequeño (entre 50×50 y 400×400 metros aproximadamente). Este hecho junto con la posibilidad de utilizar bucles rectangulares o aproximadamente rectangulares hace más flexible la ejecución de las medidas en zonas con dificultades de tipo logístico como las del Campo de Dalías.

Consideramos que el método de los SEDT está suficientemente divulgado como para hacer innecesario extenderse en este Informe en explicaciones respecto a sus fundamentos teóricos o a la forma en que se efectúan las medidas. Al respecto nos remitimos a las publicaciones que se relacionan a continuación.

- Electromagnetics methods in applied Geophysics. Vol. 2, Application, Part A. Chapter 5. «Electromagnetics soundings». SOCIETY OF EXPLORATION GEOPHYSICISTS.
- Los sondeos electromagnéticos en el dominio de Tiempos. Aspectos más significativos y primeras experiencias en España. BOLETÍN DEL ITGE. Tomo XCIII-III, 1.987.

A su vez algunas publicaciones específicas donde se pone de manifiesto la capacidad del método de los SEDT para el estudio de la salinización de acuíferos por efecto de la intrusión marina son las siguientes:

- Transient Electromagnetic Soundings for groundwater. GEOPHYSICS. Vol. 51-nº 4. 1.986

- Case histories of Time Domain Electromagnetic Soundings in Environmental Geophysics. INVESTIGATIONS IN GEOPHYSICS. Nº 5. GEOTECHNICAL AND ENVIRONMENTAL GEOPHYSICS. SOCIETY OF EXPLORATION GEOPHYSICS. 1.990

Mediante los trabajos realizados en el curso del presente ensayo se ha tratado de evaluar las futuras posibilidades de empleo del método de los SEDT para el estudio de la intrusión marina en el Campo de Dalias, analizando los siguientes aspectos:

- Problemas logísticos asociados al tendido de los bucles.
- Posibles interferencias de las estructuras metálicas de los invernaderos líneas eléctricas, tuberías , etc.
- Efectividad de este tipo de medidas en función del tamaño y morfología de los bucles.

2. TRABAJO REALIZADO

2.1. METODOLOGÍA.

La característica logística más relevante de la zona de estudio es su ocupación casi completa por invernaderos de modo que las posibilidades de tendido de cables para la realización de medidas geofísicas se limitan a los caminos y zonas de paso entre los mencionados invernaderos. En consecuencia la metodología convencional de utilizar bucles transmisores de forma cuadrada hubo de alterarse adaptándose a las posibilidades de cada emplazamiento. Así pues en algunos casos la forma de los bucles se aparta sensiblemente de la cuadrada.

En todos los casos se operó en la modalidad de bobina receptora emplazada en el centro del bucle transmisor porque tiene como ventaja más significativa el hecho de que en esa zona es máxima la amplitud de la señal (f.e.m.) del campo EM transitorio asociado a las corrientes de difusión que se establecen en el subsuelo al interrumpir bruscamente los pulsos de corriente en el bucle transmisor.

Al objeto de tratar de registrar la señal útil en su totalidad se efectuaron en cada punto tres series de medidas correspondientes a frecuencias de la corriente en el bucle transmisor de 2'5 y 6'25 y 25 Hz.

Para cada una de ellas se midió la f.e.m. del campo EM transitorio según 20 ventanas distribuidas en el tiempo en la forma que se indica en la **Figura 1.**

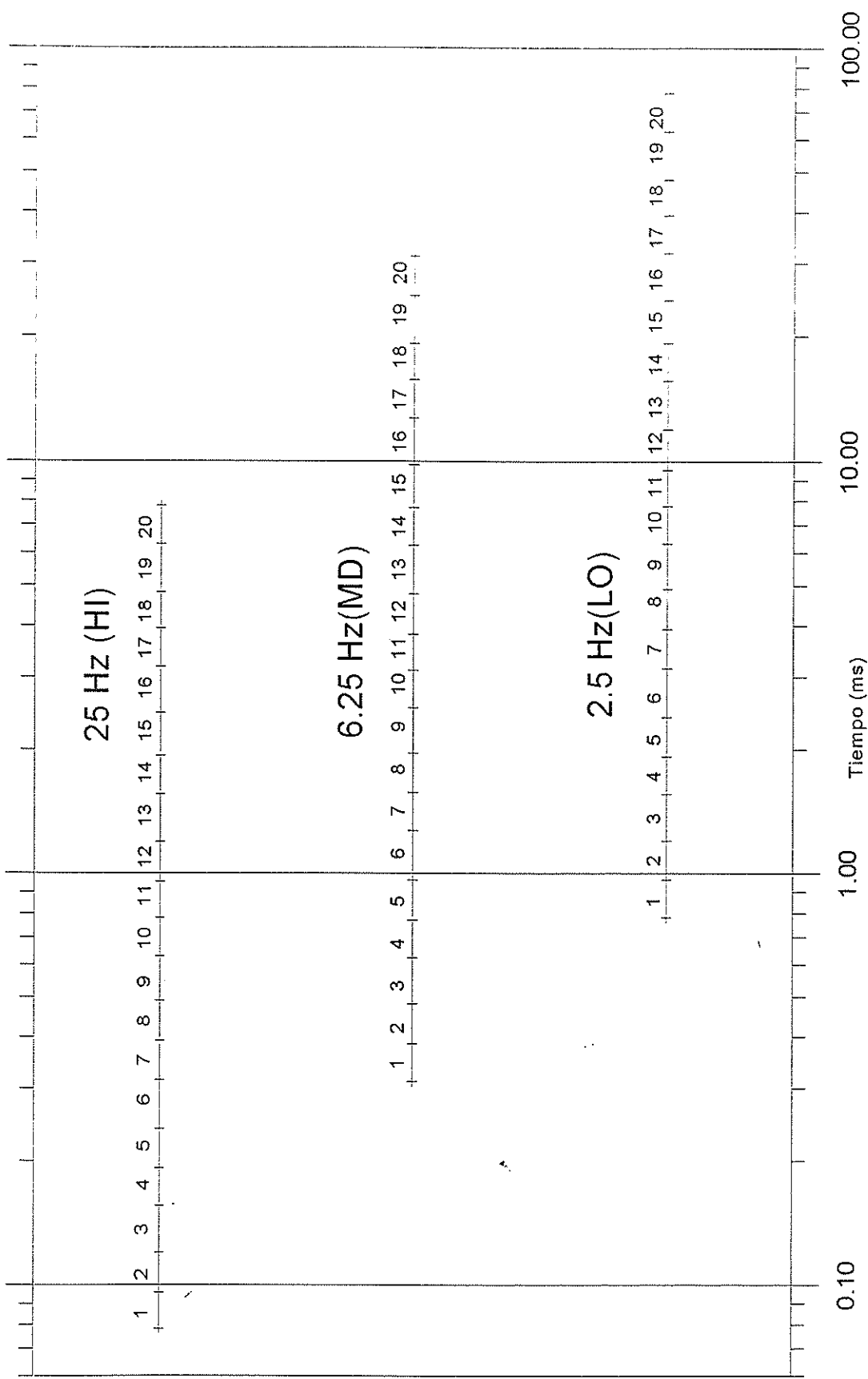


Figura 1.- Distribucion de las ventanas de medida del equipo PROTEM en función de la frecuencia.

El sincronismo entre transmisor y receptor se estableció mediante cable de referencia.

2.2. DESCRIPCIÓN DEL TRABAJO REALIZADO.

Por parte de los Técnicos de la Oficina del ITGE en Almería, se seleccionaron los emplazamientos donde realizar las medidas geofísicas, en función de criterios tanto hidrogeológicos como logísticos. En alguno de ellos resultó inviable el tendido de los cables del bucle transmisor de modo que los SEDT finalmente realizados fueron los que se relacionan a continuación. Su localización se detalló en los planos del **ANEXO 1**, junto con la correspondiente a los sondeos situados en la proximidad de cada punto de medida

ZONA 2. (Aguadulce)

Se midieron dos SEDT con estas características.

SEDT nº 2. Bucle de 350×350 metros.

Intensidad 19 A

Tiempo de corte $225 \mu s$.

SEDT nº 2B Bucle de 200×200 metros.

Intensidad 21 A

Tiempo de corte $160 \mu s$.

Zona limpia. Existen dos invernaderos con estructura metálica dentro del bucle

ZONA 5. (Gangosa).

En ella se midió el SEDT nº 5 con un bucle de forma trapezoidal asimilable a un rectángulo de 600×300 metros.

Intensidad 16 A

Tiempo de corte $210 \mu s$

Existen invernaderos metálicos en toda la zona ocupada por el bucle y su entorno.

ZONA 9. (Aguila-Tomillar)

Fueron dos los SEDT medidos en ella.

SEDT nº 9. Bucle de 400×400 metros.

Intensidad 16'5 A

Zona limpia. Tiempo de corte 240 μ s.

SEDT nº 9B Bucle de 200×200 metros.

Intensidad 21 A

2.2.1. Procedimientos. Tiempo de corte 170 μ s.

Zona limpia, sin invernaderos.

ZONA 10.

También se midieron dos SEDT en esta zona en los únicos emplazamientos posibles.

SEDT nº 10 Bucle de 200×200 metros.

Intensidad 21 A

Tiempo de corte 170 μ s.

SEDT nº 10B Bucle de 400×300 metros.

Intensidad 19 A

Tiempo de corte 225 μ s

Era una zona limpia de invernaderos si bien existen sondeos con equipo de bombeo dentro de los bucles y/o en sus proximidades que estaban en operación durante la ejecución de las medidas geofísicas.

ZONA 11. (Balanegra)

Únicamente pudo tenderse un bucle de forma irregular y tamaño aproximado de 300×200 metros con el que se midió el SEDT nº 11

Intensidad 17 A

Tiempo de corte 160 μ s

En su entorno existen invernaderos de madera.

ZONA 14. (Balanegra)

Aquí se midió el SEDT nº 14 con un bucle de 200x200 metros.

Intensidad 22'5 A

Tiempo de corte 160 μ s

Zona limpia.

2.2.1. Procesado de los datos y presentación de los resultados.

A partir de las medidas de la f.e.m. del campo EM transitorio el primer paso del procesado de los datos ha consistido en la obtención de las curvas de resistividad aparente como una función del tiempo; de forma similar a las curvas de los SEV en que los valores de resistividad aparente se representan en función de la semiseparación entre los electrodos de emisión (AB/2).

La expresión utilizada para estos cálculos es la siguiente:

$$\rho_a = \mu / (4\pi t) \times (0,4 \mu T x M / t \times dB_z / dt)^{(2/3)}$$

en la que

$$\mu = 4\pi \times 10^{-7}$$

$T x M$ = Momento magnético en el bucle transmisor (area \times intensidad)

La interpretación de las curvas de resistividad aparente para la determinación de la distribución de capas del subsuelo, caracterizadas por su espesor y resistividad, se ha realizado siguiendo la metodología habitual que consiste en calcular la respuesta teórica de un determinado modelo de capas y compararla con la curva de resistividad real. Mediante sucesivas aproximaciones, modificando los parámetros del modelo, se trata de conseguir el mejor grado de ajuste entre la curva teórica y los datos de campo. En ese punto se adopta como interpretación del SEDT en cuestión el modelo cuya respuesta teórica coincide mejor con la curva real.

Al igual que en el caso de los SEV, los fundamentos teóricos de esta modalidad de sondeo eléctrico exigen la existencia de capas planas, subhorizontales, con extensión lateral muy superior a las dimensiones del dispositivo de medida y la ausencia de contrastes laterales de resistividad.

En consecuencia los resultados de la interpretación de cada SEDT tienen un significado acorde con las hipótesis anteriores, cosa que no siempre tiene un significado geológico inmediato, especialmente cuando pueden existir contrastes laterales de resistividad como cabe sospechar para algunas zonas del Campo de Dalías.

Los resultados de este proceso se presentan en diversas figuras de este Informe que incluyen la siguiente información: Los datos medidos representados mediante símbolos, el modelo de capas asumido como interpretación que se indica mediante una curva de trazo continuo y la curva de resistividad aparente correspondiente a tal modelo. Esta se representa en forma de diagrama escalonado resistividad/profundidad

3. COMENTARIOS A LOS RESULTADOS.

ZONA 2.

Los dos SEDT medidos en esta zona se localizan entre los sondeos A-10 y A-11. Ambos intersectaron una serie dolomítica hasta 530 y 440 metros de profundidad respectivamente y calcoesquistos con calizas margosas a partir de las cotas mencionadas. Los registros de Conductividad de la última campaña de testificación geofísica, realizados aproximadamente en la misma época que los SEDT (Noviembre-95) ponen de manifiesto la existencia de una zona de transición entre 180 y 330 metros aproximadamente hasta una zona claramente salinizada en el sondeo A-10 a 332 metros de profundidad.

Los resultados de los SEDT 2 y 2B (Figuras 2 y 3) ponen de manifiesto un modelo concordante con la información de los sondeos A-10 y A-11.

CAPA	SEDT-2B (200×200 m)	SEDT-2 (350×350 m)
(1)	0 -180 m. 84 ohm.m	0 -173 m. 120 ohm.m
(2)	180 -346 m. 3'5 ohm.m	173-348 m 3'45 ohm.m
(3)	---	0'030 ohm.m

La capa 1 parece corresponder a las dolomías no salinizadas mientras que la capa 2 es asimilable al tramo parcialmente salinizado y la capa 3 a la zona saturada de agua salada.

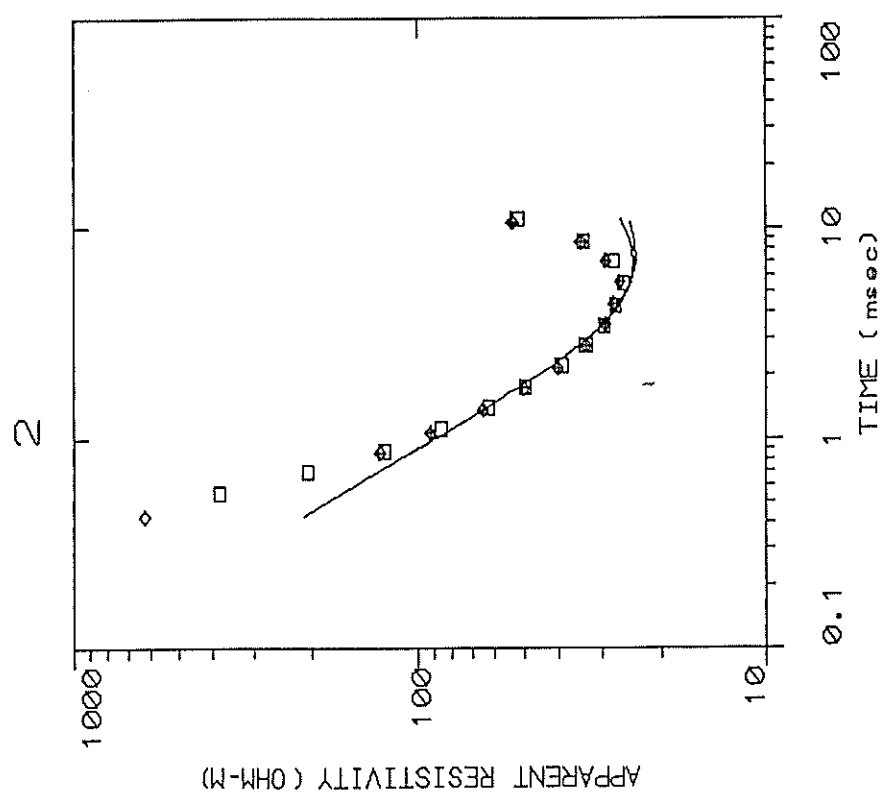
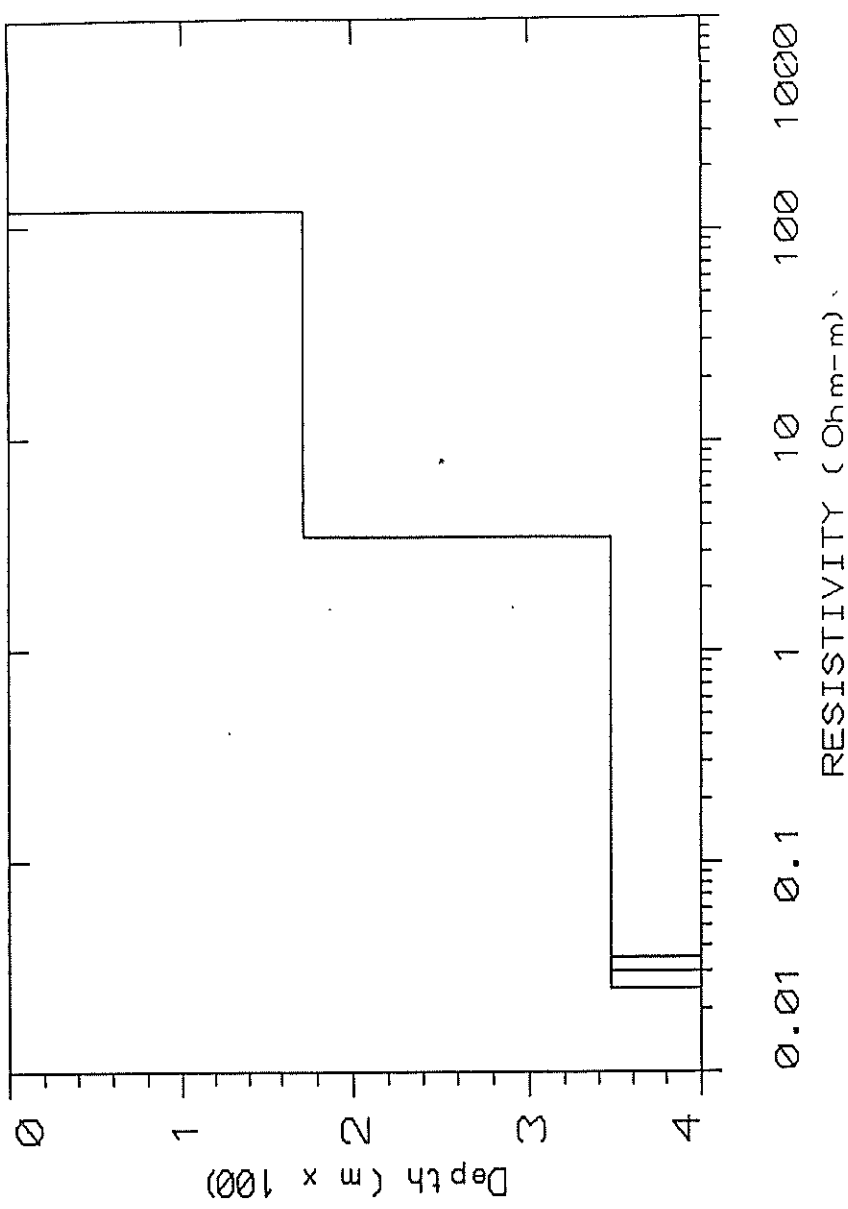


Figura 2.- Interpretación del SEDT-2

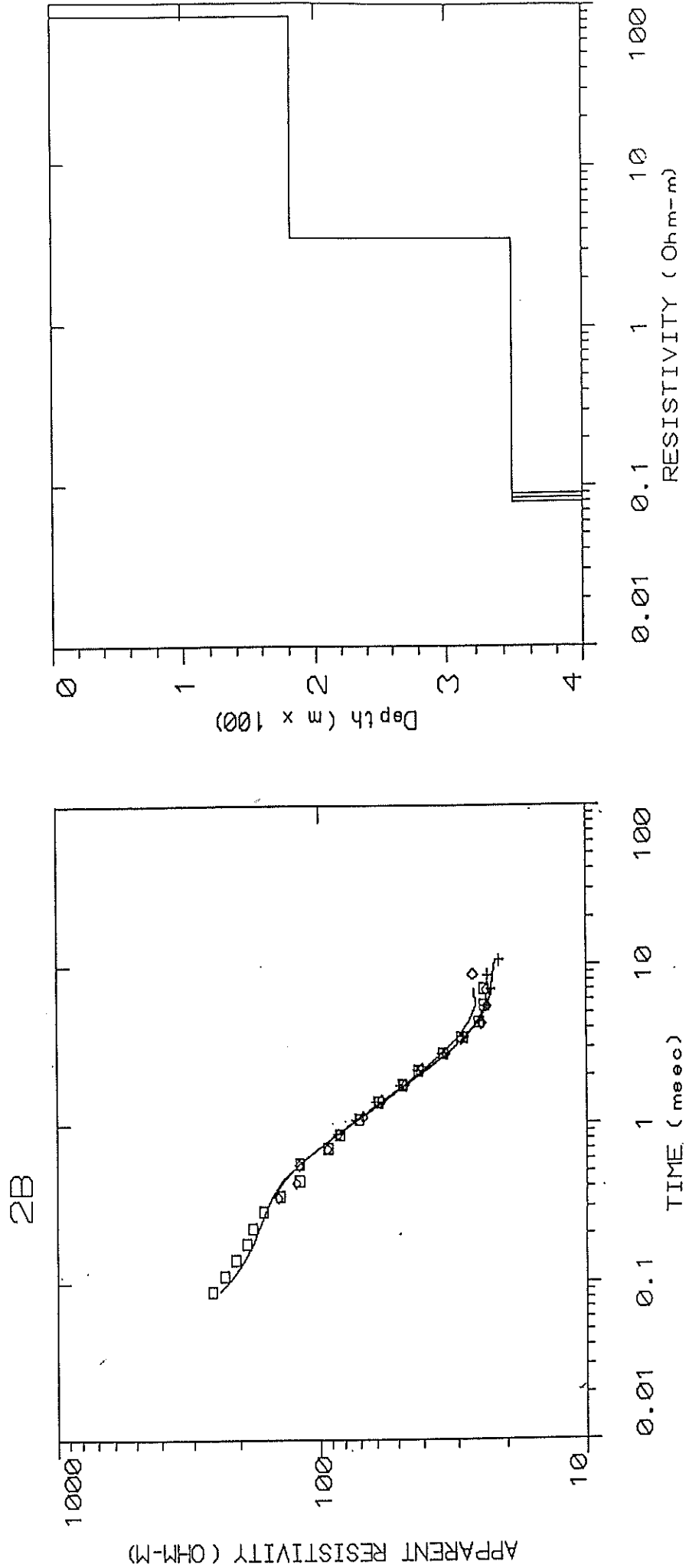


Figura 3.- Interpretación del SEDT-2B

La comparación de los resultados obtenidos de la interpretación de los SEDT-2 y 2B permite apreciar la **influencia del tamaño del bucle** en los resultados finales de los SEDT. La morfología de las curvas de resistividad aparente difiere notablemente en su zona inicial (entre 0'1 y 1 ms) debido a que las lecturas de los primeros canales del bucle de mayor tamaño (SEDT-2) están parcialmente afectadas por la mayor duración del tiempo de corte de los pulsos de corriente. Puede observarse como el ajuste entre el modelo y los datos de campo es más preciso para el SEDT-2B en la zona inicial de la curva de resistividad aparente.

Sin embargo la zona comprendida entre 1 y 10 ms es similar en ambos SEDT en su morfología y en sus valores de resistividad aparente. Esta es la zona representativa del rango de profundidad más significativo respecto a los objetivos del estudio. En conclusión parece deducirse que el bucle de menor tamaño proporciona una mejor resolución de los niveles superficiales sin que las diferencias de profundidad investigada sean apreciables en este caso.

Un problema al margen es la presencia de una rama final ascendente en la curva de resistividad aparente, no justificada por el modelo geoeléctrico. Comentaremos más adelante este hecho que también se aprecia en otros SEDT.

ZONA 5.

Los resultados del SEDT-5 son claramente discrepantes respecto a la información proporcionada por el **sondeo 40 Vc** situado relativamente próximo y cuya columna litológica simplificada es la siguiente:

0- 35 metros.	Cuaternario. Conglomerados y gravas en una matriz arcillosa
35- 77 metros.	Mioceno Superior. Calcareitas, arcillas y conglomerados.
77-170 metros.	Dolomías muy fisuradas.

La zona de transición agua dulce/agua salada se extiende desde 108 hasta 135 metros. Por debajo de esa cota la concentración de ClNa es superior a 5 g/l.

La interpretación del SEDT-5 es problemática y no parece tener ningún significado geológico. De hecho ha resultado imposible conseguir un buen ajuste entre las curvas de resistividad teórica y real lo que hace sospechar que los datos estén afectados por influencias laterales no cuantificables.

Otra posible explicación que consideramos poco probable es la influencia de las estructuras de los invernaderos ya que normalmente tal efecto se traduciría en un considerable nivel de ruido en la curva de resistividad aparente, cosa que no se aprecia en nuestro caso. Finalmente la explicación que consideramos más verosímil es el efecto de la irregularidad del bucle que puede haber distorsionado el cálculo de los valores de resistividad aparente ya que en este proceso se considera siempre un bucle regular con una posición concreta de la bobina receptora respecto al centro del bucle. Ambos extremos no se cumplen en este caso.

El mejor ajuste en términos matemáticos entre los datos de campo y el modelo resultante de la interpretación de este SEDT es el que incluimos en la Figura 4 que corresponde al siguiente modelo:

CAPA	TRAMO	RESISTIVIDAD
(1)	0-0'5 metros	1850 ohm.m
(2)	0'5-90 metros	3'5 ohm.m
(3)	90-234 metros	7'5 ohm.m
(4)	234-307 metros	10 ohm.m
(5)	307-416 metros	0'1 ohm.m
(6)	> 416 metros	8 ohm.m

Obviamente no existe ninguna posibilidad de correlación de estos resultados con los datos del sondeo 40 Vc.

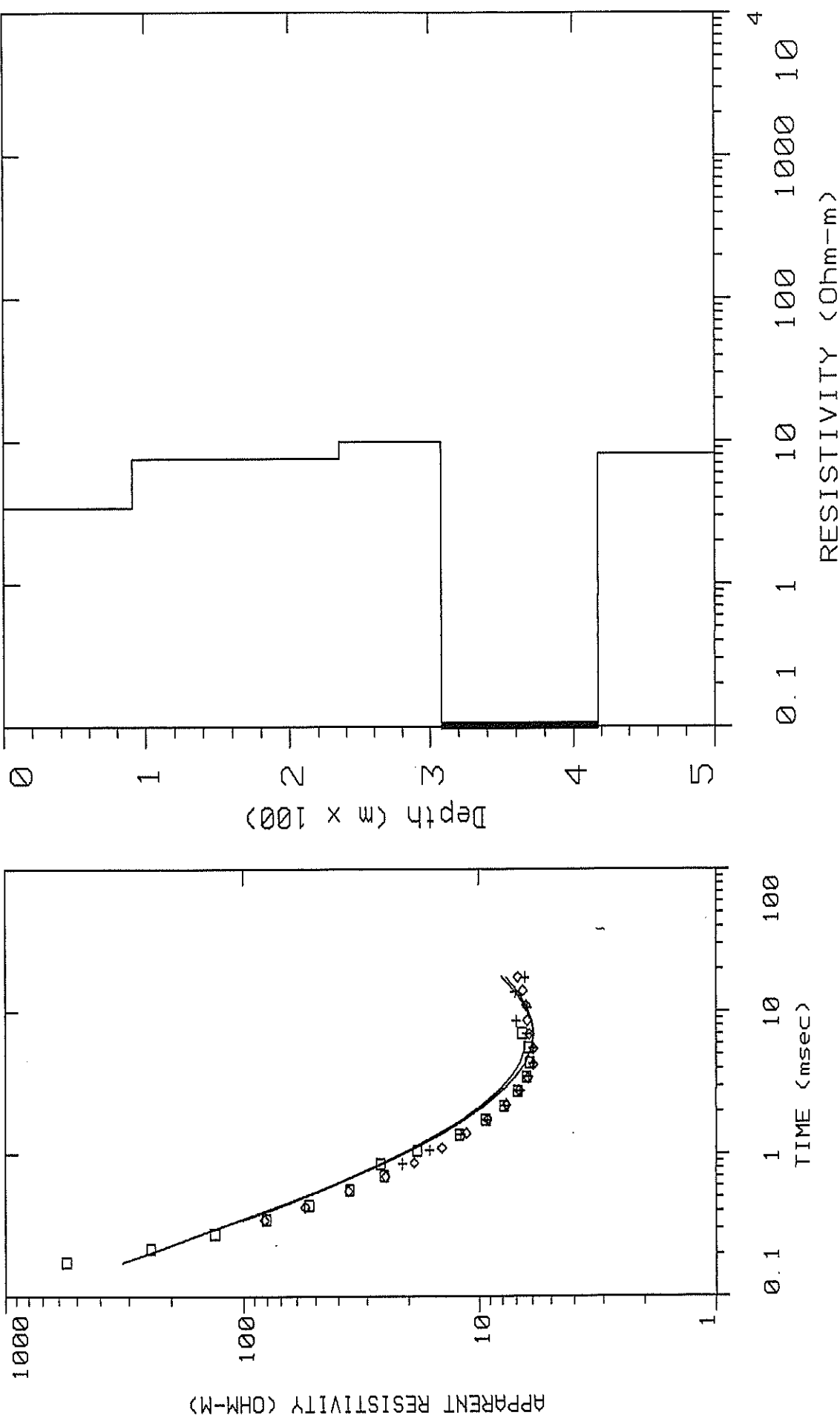


Figura 4.- Interpretación del SEDT-5

ZONA 9.

Los sondeos más próximos a la zona de medida son los 681-D y 212 pero en ninguno de los dos se han efectuado registros de conductividad en las campañas de testificación más recientes. Así pues el único apoyo a nuestra interpretación es la columna litológica del sondeo 681-D que en términos simplificados es la siguiente:

0 -84 m.	Cuaternario. Gravas en matriz arcillosa
84-104 m.	Mioceno Superior. Conglomerados y limos
104-135 m.	Permotíras. Filitas y cuarcitas
135-148 m.	Trías. Calizas Unidad de Gádor
148-362 m.	Calizas y dolomías Unidad de Gádor

El principal rasgo a destacar en los SEDT 9 y 9B es que sus resultados no son coincidentes lo que se pone de manifiesto en la Figura 5 donde se incluyen los datos del SEDT- 9B (símbolos) y la curva teórica correspondiente al modelo tomado como interpretación del SEDT 9 (línea continua). Esta discrepancia manifiesta posibles cambios laterales de resistividad que seguramente afectan más a las medidas realizadas con el bucle de mayores dimensiones.

Considerando como más significativas los datos del SEDT-9B su interpretación parece indicar la existencia de una zona parcialmente salinizada entre 180 y 270 metros de profundidad aproximadamente. El hecho de que esta zona corresponda a calizas y dolomías sugiere que deben estar salinizadas para que su resistividad sea tan baja (menos de 10 ohm.m) como parece indicar la interpretación de este SEDT. Véanse al respecto las Figuras 6 y 7 que resumen la interpretación cuyos valores representativos son los siguientes::

SEDT-9. (400x400 m).

CAPA	TRAMO	RESISTIVIDAD
(1)	0-200 metros	284 ohm.m
(2)	200-475 metros	89 ohm.m
(3)	> 475 metros	25 ohm.m

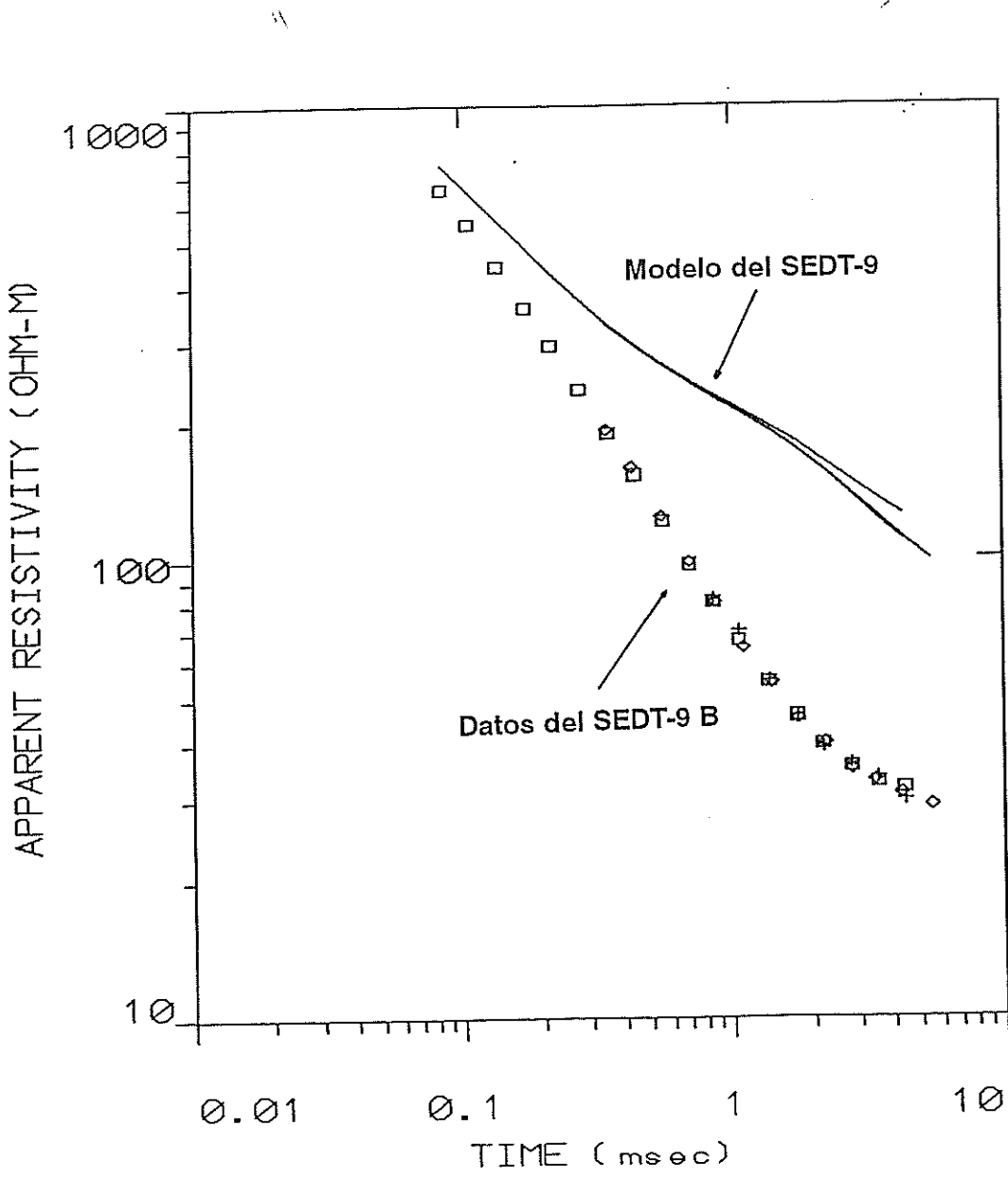


Figura 5.- Discrepancias entre los SEDT 9 y 9B

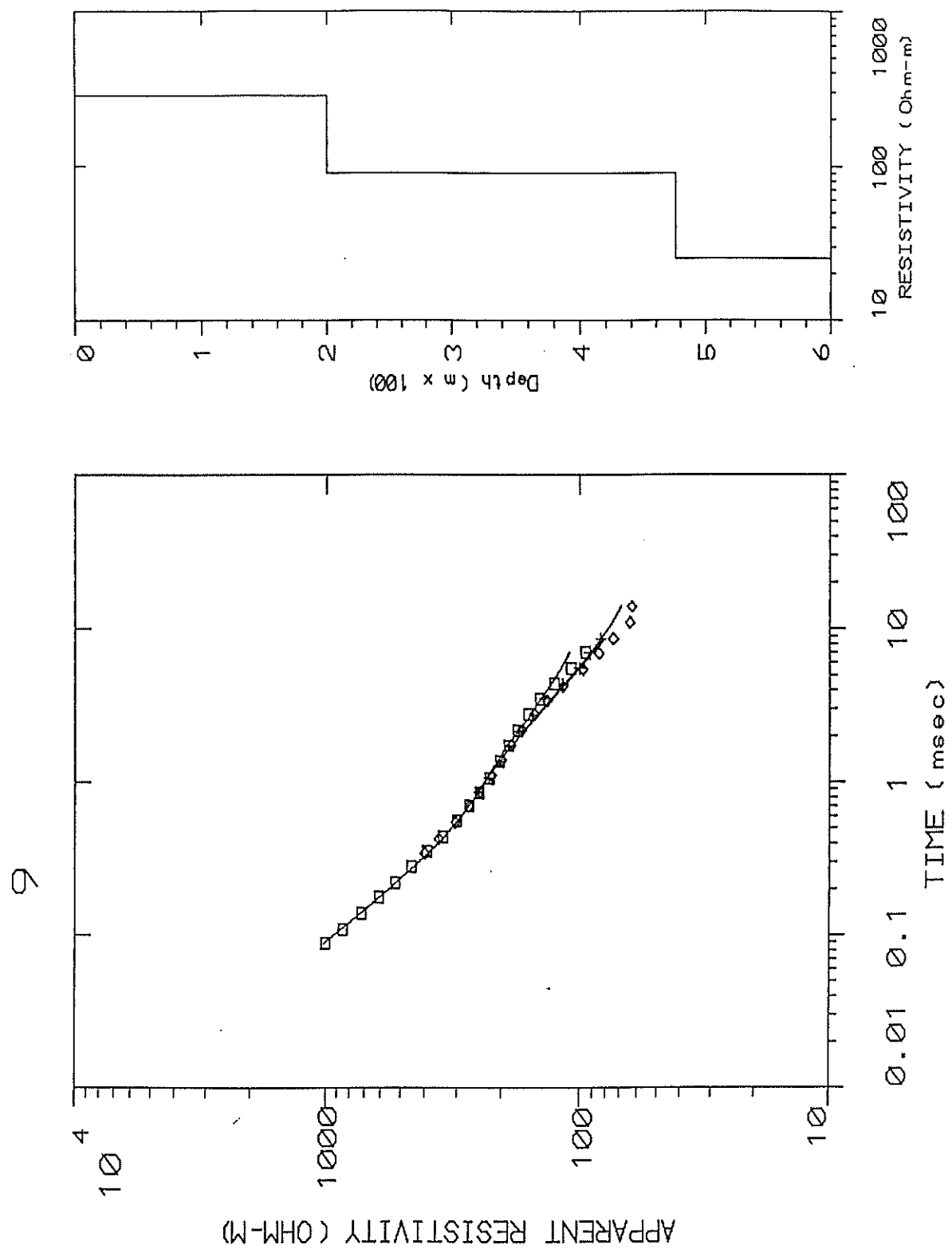
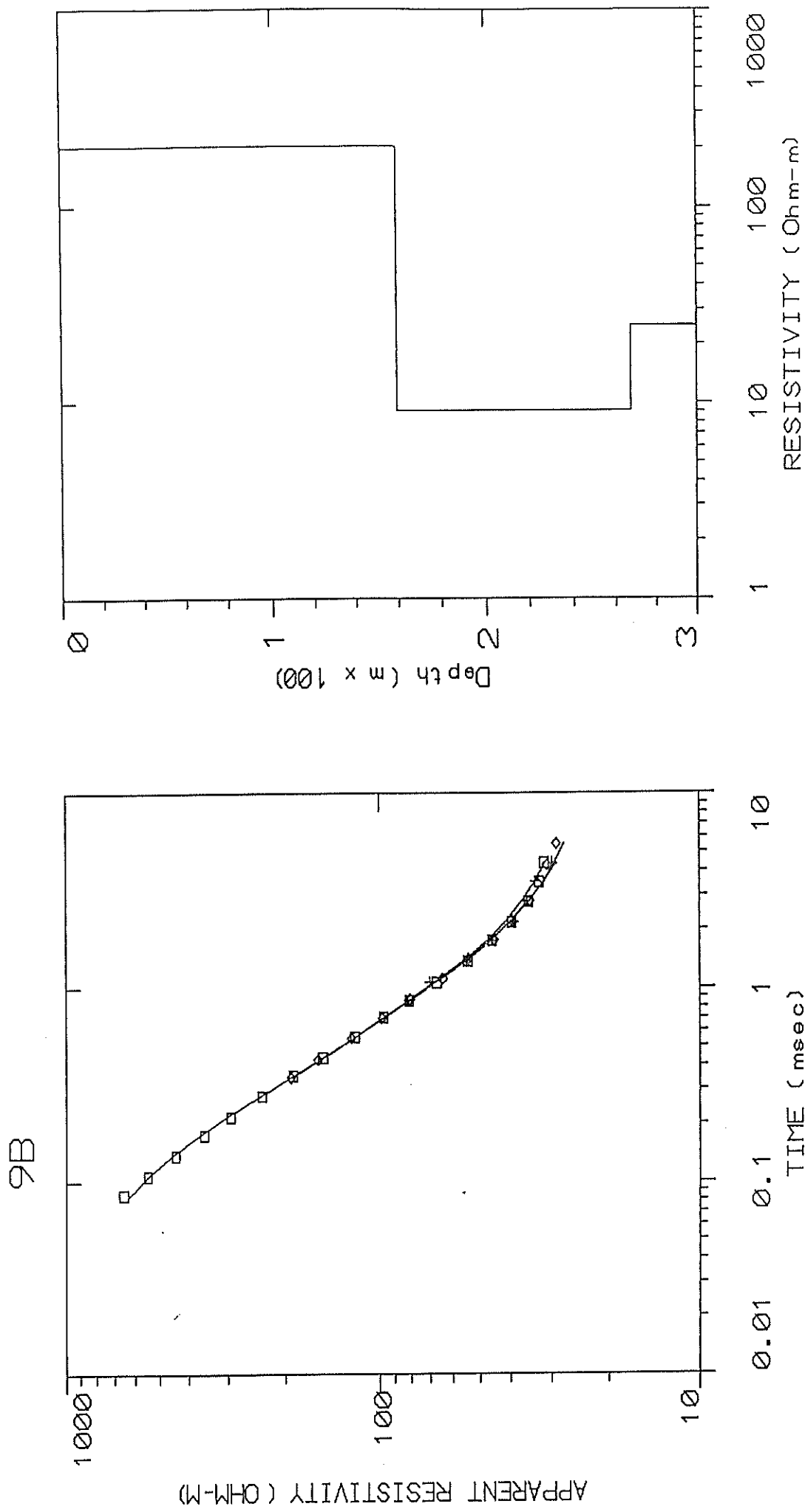


Figura 6.- Interpretación del SEDT-9

Figura 7.- Interpretación del SEDT-9B



SEDT-9B. (200×200 m).

CAPA	TRAMO	RESISTIVIDAD
(1)	0-160 metros	201 ohm.m
(2)	160-268 metros	9 ohm.m
(3)	> 268 metros	25 ohm.m

ZONA 10.

Los datos a comparar en este caso son los de los **SEDT-10 y 10B** con el sondeo **66-D**, cuya columna litológica simplificada es la siguiente:

- 0 -66 m. Cuaternario. Conglomerados y arcillas
- 66-215 m. Plioceno Inferior-Medio. Limos margosos
- 215-290 m. Mioceno Superior. Calizas porosas
- 290-313 m. Trías Medio-Superior. Dolomías

No disponemos de información relativa a la posible salinización de los acuíferos en esta zona.

La curva de resistividad del SEDT-10 presenta una considerable nivel de ruido que a primera vista la hace ininterpretable (**Figura 8**). Muy probablemente se trata de ruido cultural producido por la influencia de los **equipos de bombeo** que estaban **funcionando** en algunos sondeos en las proximidades del punto de medida. No obstante parte de ese ruido puede eliminarse fácilmente para obtener una curva de resistividad aparente muy similar a la del SEDT-10 B. La morfología de ésta pone de manifiesto la presencia de una zona relativamente conductora, que debe entenderse en términos cualitativos, alrededor de 310 metros de profundidad tal como se puede apreciar en la **Figura 9**. Si tal zona está producida por la salinización del acuífero consideramos muy improbable que la subida de resistividad del tramo final de la curva de resistividad sea real.

Este es el detalle de la interpretación cuantitativa del SEDT-10B.

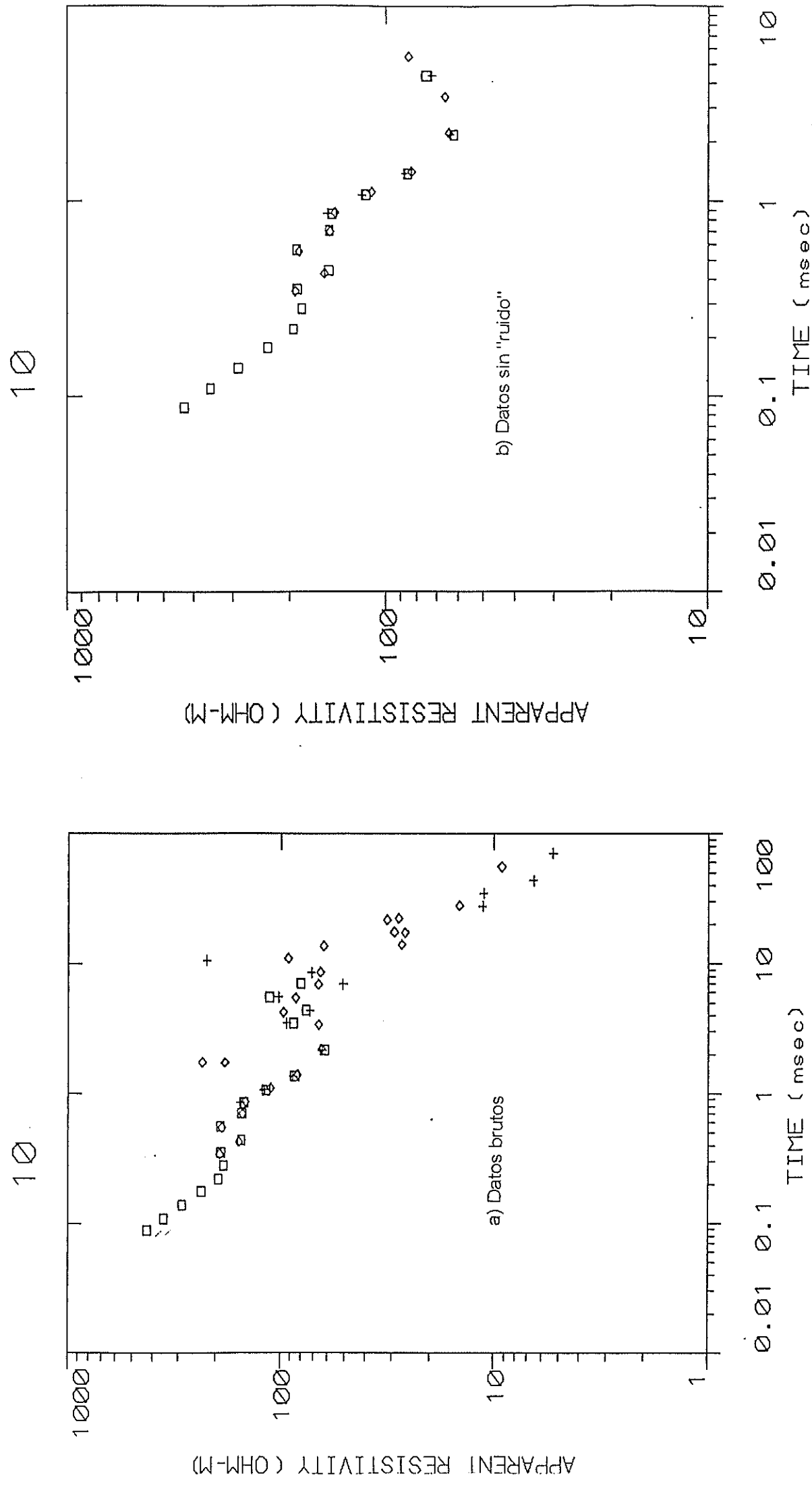


Figura 8.- Curva de resistividad aparente del SEDT-10

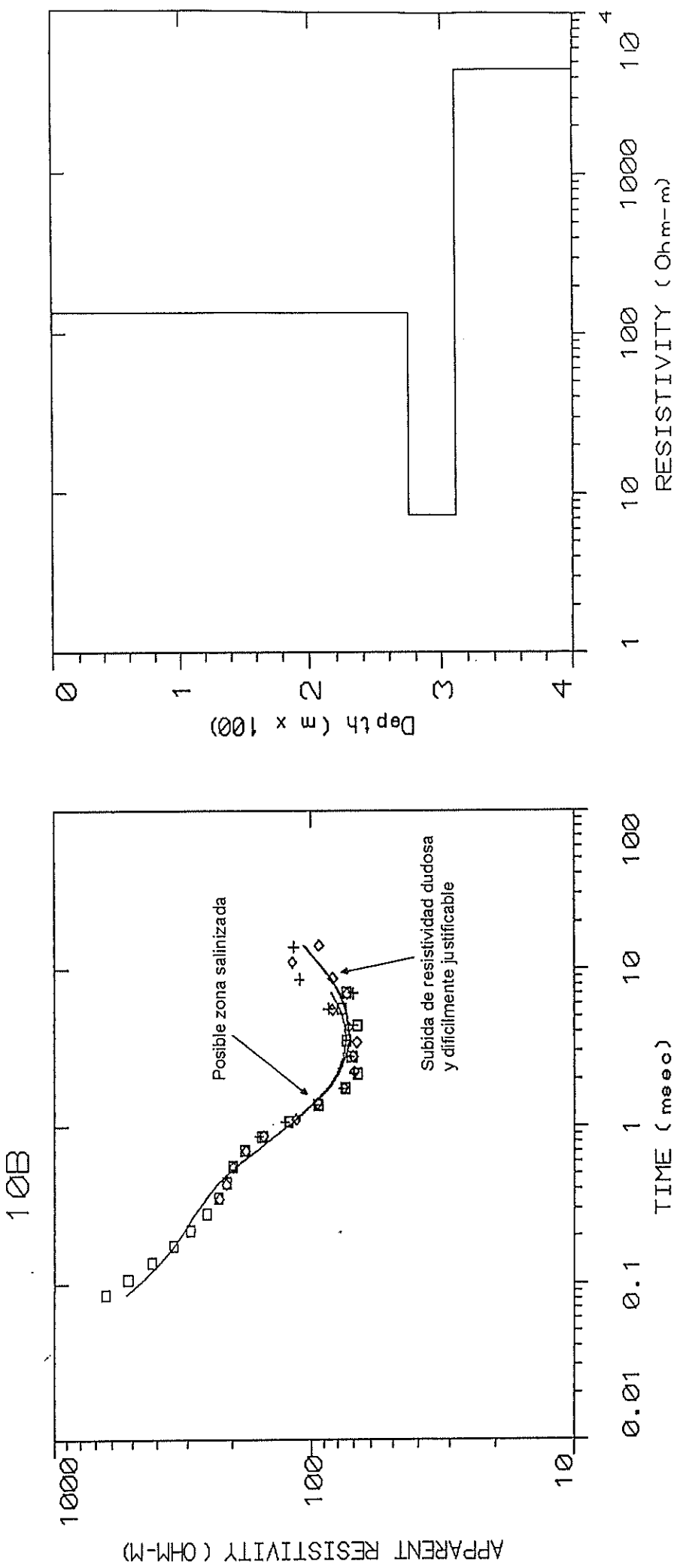


Figura 9.- Interpretación del SEDT-10B

SEDT-10B (400×300 metros).

CAPA	TRAMO	RESISTIVIDAD
(1)	0-274 metros	135 ohm.m
(2)	274-311 metros	7'3 ohm.m
(3)	> 311 metros	> R (dudoso)

ZONA 11.

En la vecindad inmediata al bucle con que se midió el **SEDT-11** se localiza el **sondeo 486 Bj** cuyo rasgo más relevante a nuestros efectos es su salinización (más de 5 g/l a partir de 112 metros de profundidad y más de 30 g/l a partir de 118 metros). Este hecho va a ser en consecuencia el rasgo más influyente en las medidas del SEDT, cosa que claramente manifiesta la curva de resistividad aparente por su acusada tendencia descendente. Aparentemente esta curva (**Figura 10**) corresponde a un modelo de tres capas, tipo H lo que estaría en contraposición con el modelo geoeléctrico correspondiente a un acuífero salinizado a partir de 112-118 metros de profundidad. Sin embargo su interpretación pone de manifiesto que en realidad se trata de un modelo de dos capas en el que la muy baja resistividad de la segunda provoca lo que consideramos una **falsa subida de resistividad** generando una tercera «capa» ficticia. De hecho la interpretación es prácticamente la misma con dos o con tres capas (**Ver Figura 11**) porque en todo caso predomina la influencia de la segunda, muy conductora.

Respecto a los objetivos del estudio cabe decir que los resultados de este SEDT son fácilmente comparables con los datos del sondeo 486 Bj en lo que a salinidad se refiere. Esta es la interpretación del SEDT en cuestión.

CAPA	TRAMO	RESISTIVIDAD
(1)	0-130 metros	3'4 ohm.m
(2)	> 130 metros	0'01 ohm.m

11

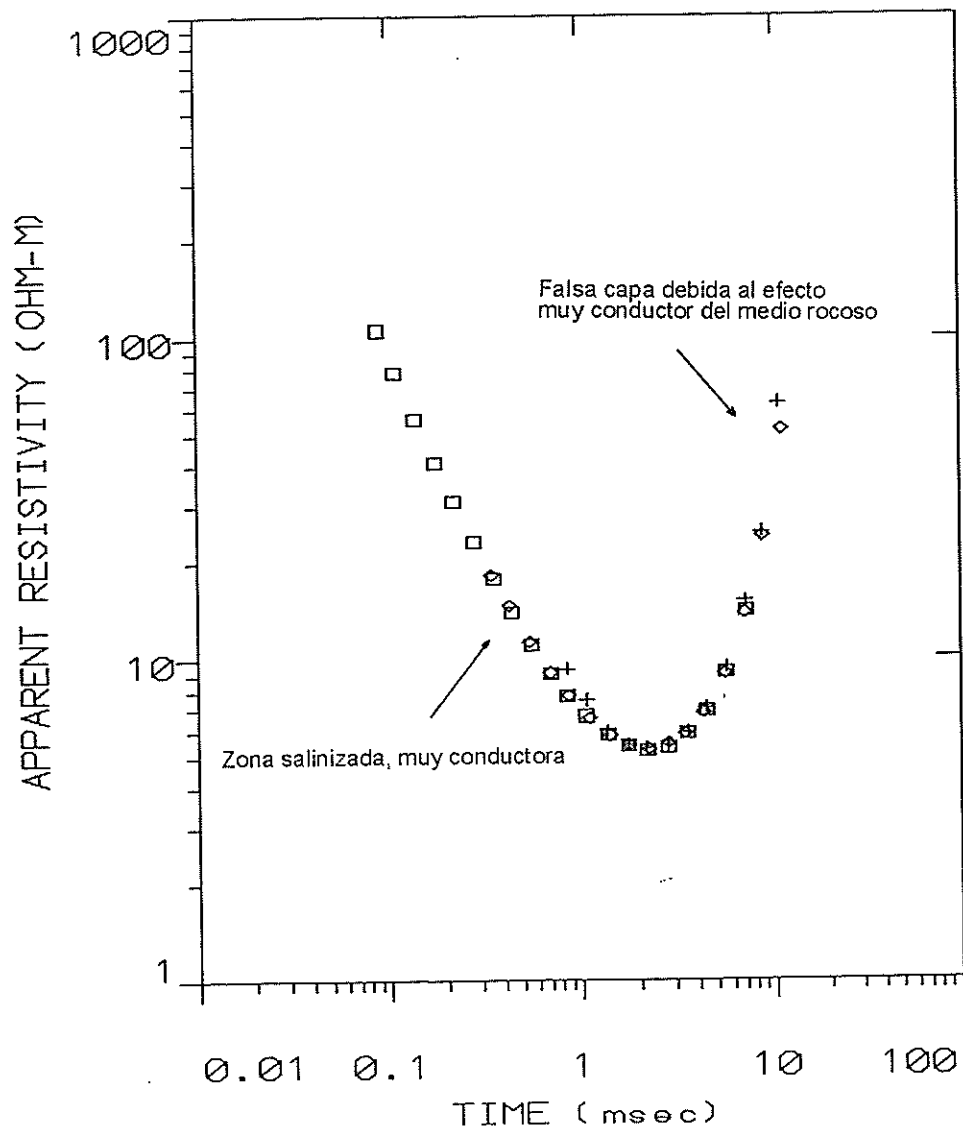
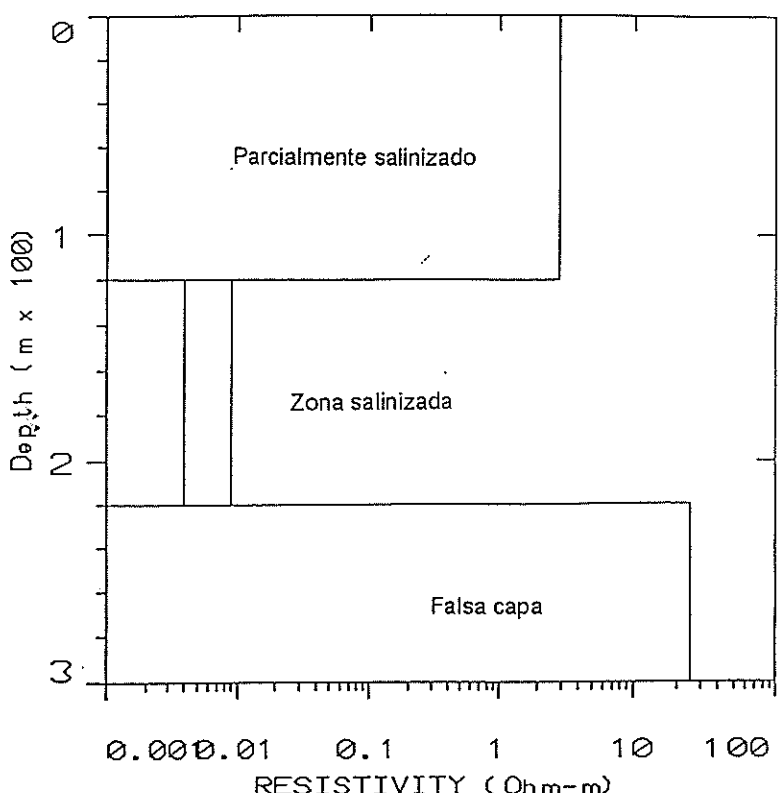
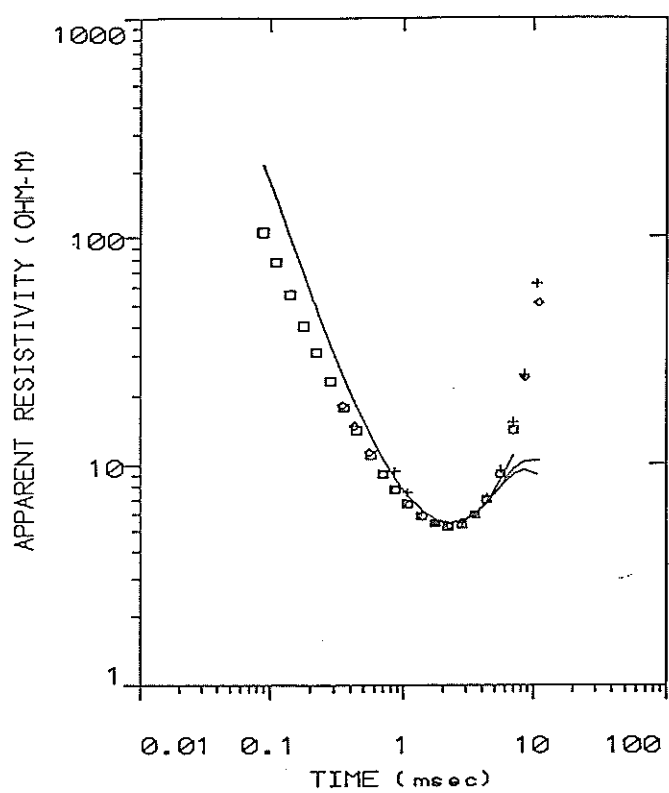


Figura 10.- Curva de resistividad aparente del SEDT-11

11



11

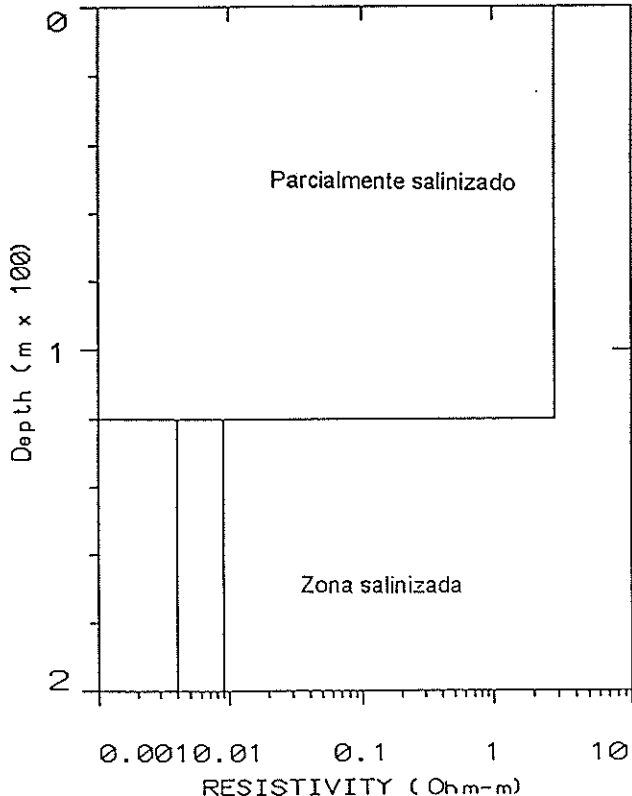
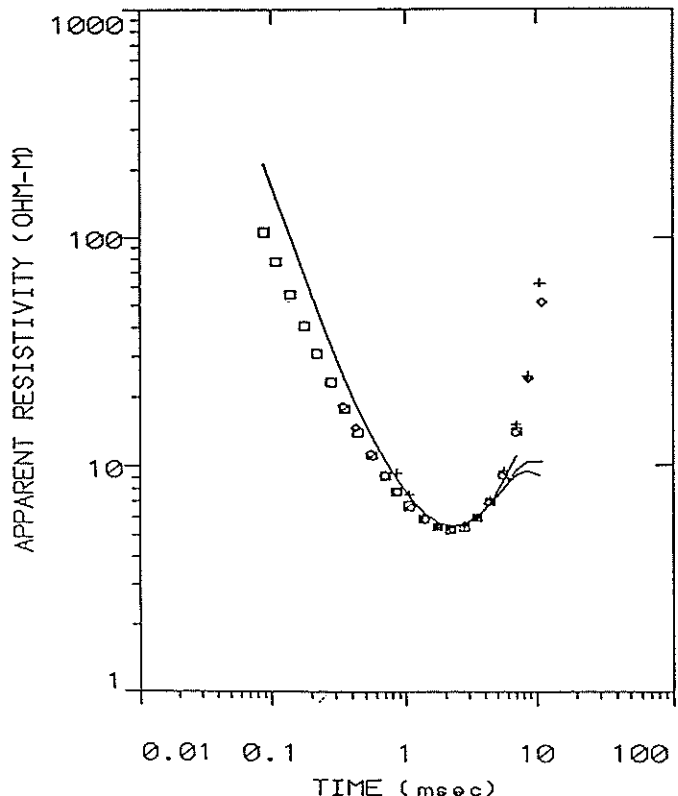


Figura 11.- Interpretación del SEDT-11 con dos y tres capas

En el entorno de este SEDT no existían elementos tales como invernaderos o líneas eléctricas que pudieran producir ruido cultural en las medidas.

ZONA 14.

La información facilitada por el ITGE indica que los sondeos B-9 y B-10 se localizan relativamente próximos al SEDT-14, aunque el correspondiente plano del **ANEXO 1** pone de manifiesto que la distancia entre los SEDT y el sondeo es significativa. Por ello consideramos un tanto arriesgado tratar de establecer una correlación precisa entre los resultados del SEDT y los datos obtenidos de los sondeos mencionados.

Presentamos en la **Figura 12** los resultados de la interpretación del SEDT-14 que son enteramente similares a los del SEDT-11.

CAPA	TRAMO	RESISTIVIDAD
(1)	0-115 metros	147 ohm.m
(2)	115-360 metros	2'76 ohm.m
(3)	> 360 metros	0'05 ohm.m

En síntesis cabe decir que este SEDT manifiesta la presencia de una zona muy conductora a partir de 300-350 metros de profundidad que interpretamos como una zona salinizada. Además la capa situada por encima de la anterior también tiene una resistividad baja (3 ohm.m) por lo que cabe considerarla como parcialmente salinizada. La precisión con que puede definir el techo de la «capa» muy conductora es pequeña y por ello estos resultados deben valorarse principalmente en términos cuantitativos.

Remarcamos no obstante la bondad de las medidas en este emplazamiento tal como pone de manifiesto el suave aspecto de la curva de potencial normalizada (f.e.m del campo EM transitorio) que presentamos en la **Figura 13**. De hecho no existía en las proximidades del punto de medida ningún elemento metálico que pudiera producir distorsión de las medidas.

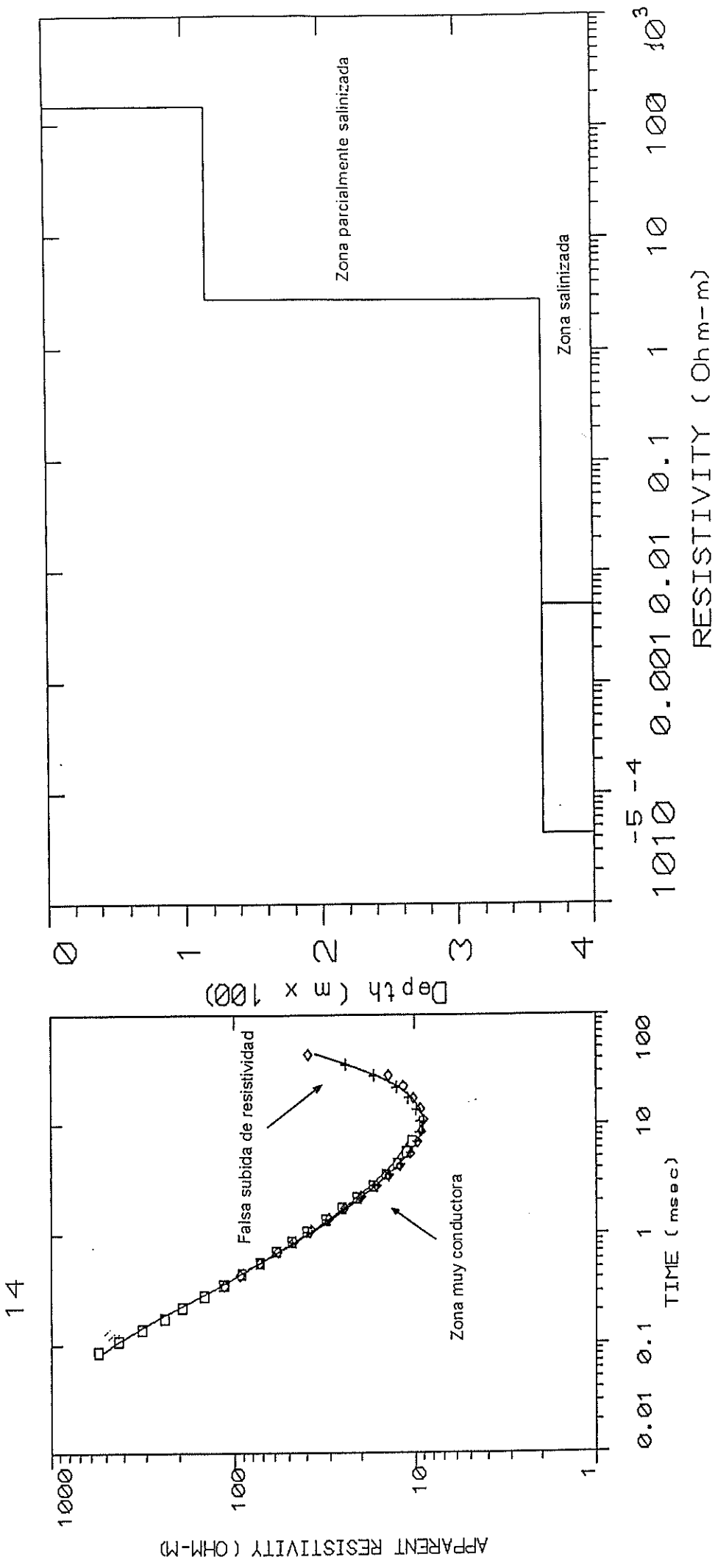


Figura 12.- Interpretación del SEDT-14

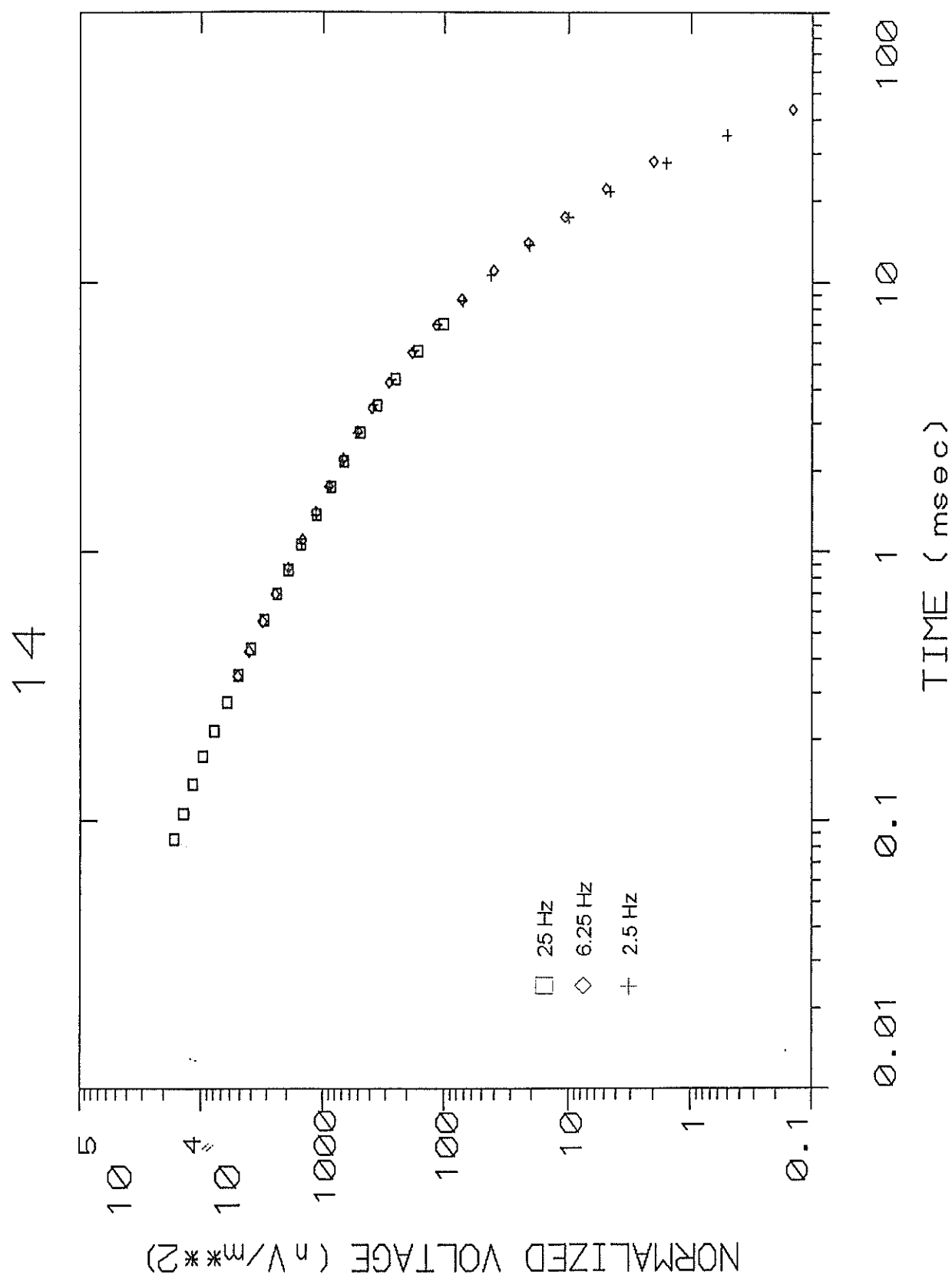


Figura 13.- Curva de potencial normalizado (medidas reales) del SEDT-14

4. CONCLUSIONES Y RECOMENDACIONES.

El conjunto de los trabajos realizados en el curso de este estudio se ha desarrollado de acuerdo con la programación del ITGE y ha sido supervisado por los Técnicos de este Organismo. Respecto a las posibles zonas de medida originalmente seleccionadas, la toma de datos hubo de limitarse a algunas de ellas debido a las dificultades concretas que se observaron en campo al inicio de los trabajos.

Como era previsible, las operaciones de campo resultan difíciles debido al importante nivel de ocupación del terreno por invernaderos vallas, líneas eléctricas, etc. Además la distribución de estos obstáculos no es permanente sino que cambia en función de los cultivos, época del año, etc. Las consecuencias derivadas de estas condiciones, en lo que respecta a la realización de medidas por el método de los SEDT, son dos:

- * Imposibilidad de llevar a cabo las medidas en algunas zonas, en determinadas épocas.
- * Puesto que el tendido de los bucles ha de adaptarse a la disposición de los invernaderos, resulta problemático poder operar con bucles cuadrados o de morfología regular.

Como premisa a la valoración de los resultados de este trabajo partimos del hecho indiscutible que una zona salinizada en el subsuelo se comporta como un elemento de muy baja resistividad capaz de manifestarse de forma más o menos acusada en las medidas de los SEDT. El objetivo de estos ensayos se extendía más allá

de la simple comprobación de que las medidas de resistividad del terreno realizadas por el método de los SEDT eran capaces de manifestar la influencia o la presencia de las zonas salinizadas. Pese al reducido número de emplazamientos donde pudieron realizarse las medidas se pretendió además valorar la influencia en los resultados de diversos parámetros significativos para las condiciones particulares del Campo de Dalías, tales como:

- * Tamaño del bucle
- * Presencia de estructuras metálicas en la proximidad de la zona de operación
- * Morfología del bucle
- * Existencia de instalaciones eléctricas en operación, etc.

La interpretación de los SEDT y su correlación con la información disponible de los sondeos mecánicos más próximos a los puntos de medida así como con las observaciones de campo, respecto a posibles interferencias, permite establecer las siguientes conclusiones de estos ensayos:

- a) De forma manifiesta únicamente se ha apreciado en las medidas influencias de tipo «cultural» posiblemente producidas por instalaciones eléctricas en operación en el ámbito de los SEDT-10 y 10B. Este hecho confirma que cabe esperar este tipo de interferencias cuando la bobina receptora no puede alejarse suficientemente de los elementos eléctricos activos tales como equipos de bombeo.
- b) En algún SEDT, concretamente en el número 5, sospechamos el efecto de contrastes laterales de resistividad que hacen ininterpretables las medidas en los términos en que opera el método de los SEDT: Capas planas horizontales y de gran extensión lateral. El efecto de estos posibles contrastes laterales de resistividad, inherentes al modelo geoeléctrico de la zona de estudio, resulta insalvable por ser desconocidas a priori. Para minimizar su efecto únicamente cabe operar con bucles de pequeñas dimensiones y determinar la localización de la zona conflictiva mediante la ejecución de SEDT muy próximos entre sí.
- c) En ausencia de interferencias geológicas o de tipo cultural los resultados proporcionados por los SEDT son concordantes con la información obtenida de los sondeos mecánicos y ello con independencia del tamaño del bucle utilizado en las medidas. El mejor ejemplo al respecto es el de los SEDT-2 y 2B.

- d) Al comparar los resultados de los SEDT medidos con **diferente tamaño de bucle** se deduce que se obtiene una mejor resolución de los niveles superficiales al reducir el tamaño del bucle sin que se pierda profundidad de investigación al comparar por ejemplo los resultados correspondientes a bucles de 200×200 metros y 400×400 metros. En zonas conductoras la señal es suficientemente intensa como para que se cubran todas las posibilidades de medida del equipo utilizado en este caso, al operar con bucles de 100×100 metros ó 200×200 metros. De hecho consideramos que la mayoría de los SEDT de estos ensayos se han medido con un tamaño de bucle exclusivamente grande. *(cesiva)*
- e) En todo caso las medidas de resistividad obtenidas mediante SEDT parecen manifestar en términos cualitativos la **influencia de zonas salinizadas** de una forma inequívoca. La zona de transición se interpreta como una «capa» con una resistividad variable entre 3 y 5 ohm.m mientras que la zona salinizada con concentraciones superiores a 15-20 g/l se caracteriza en nuestras medidas por valores de resistividad menores de 0'05 ohm.m.
- f) En ningún SEDT se ha apreciado de forma inequívoca la posible influencia de las **estructuras metálicas** de los invernaderos. Únicamente cabría sospechar tal efecto en el SEDT-5 aunque consideramos que existen otras razones más fundadas para justificar la incoherencia de sus resultados. Parece pues que esta posible fuente de ruido cultural ha tenido una influencia inapreciable en las medidas ya que se tuvo la precaución de separar convenientemente la bobina receptora de tales elementos metálicos.
- g) Un problema aparte es el enunciado al describir los resultados del SEDT-11 que también se manifiesta en el SEDT-14: **Subida** que consideramos **ficticia en la curva de resistividad aparente** en asociación con una capa de muy baja resistividad. Respecto a su posible justificación se ha consultado con expertos de GEONICS (Ver **ANEXO 3**) sin que sus explicaciones sean absolutamente convincentes.
- h) No se han obtenido resultados concluyentes respecto a la influencia de la **morfología del bucle**. El único punto medido con bucle irregular (SEDT-5) ha proporcionado resultados incoherentes pero no disponemos de otra serie de datos comprables obtenidos en el mismo emplazamiento utilizando un bucle cuadrado o rectangular.

A la vista de estos resultados cabe concluir que el método de los SEDT ofrece características atractivas para el estudio de la intrusión marina en el Campo de Dalías hasta un rango de profundidad del orden de 300-400 metros aproximadamente. Como recomendación general respecto a su posible empleo se pueden tener en cuenta los siguientes aspectos:

- ▶ Tratar de operar con el menor tamaño posible del bucle transmisor, dentro de lo adecuado a la profundidad a investigar. Entre 100×100 metros y 300×300 metros lo consideramos recomendable y viable.
- ▶ Elección cuidadosa de los emplazamientos del bucle transmisor y especialmente de la bobina receptora para minimizar o evitar las posibles interferencias de tipo cultural.
- ▶ Similar precaución ha de seguirse respecto a las interferencias de tipo geológico, evitando los emplazamientos donde se sospeche puedan existir acusados contrastes laterales de resistividad.
- ▶ Finalmente es conveniente distribuir los puntos de medida a lo largo de perfiles y relativamente próximos o casi adyacentes entre sí, al objeto de poder correlacionar fácilmente los resultados y observar variaciones de resistividad que puedan ser indicativas respecto a la posible salinidad de los acuíferos o a la existencia de contrastes laterales de resistividad capaces de distorsionar las medidas.

Madrid, Diciembre - 95

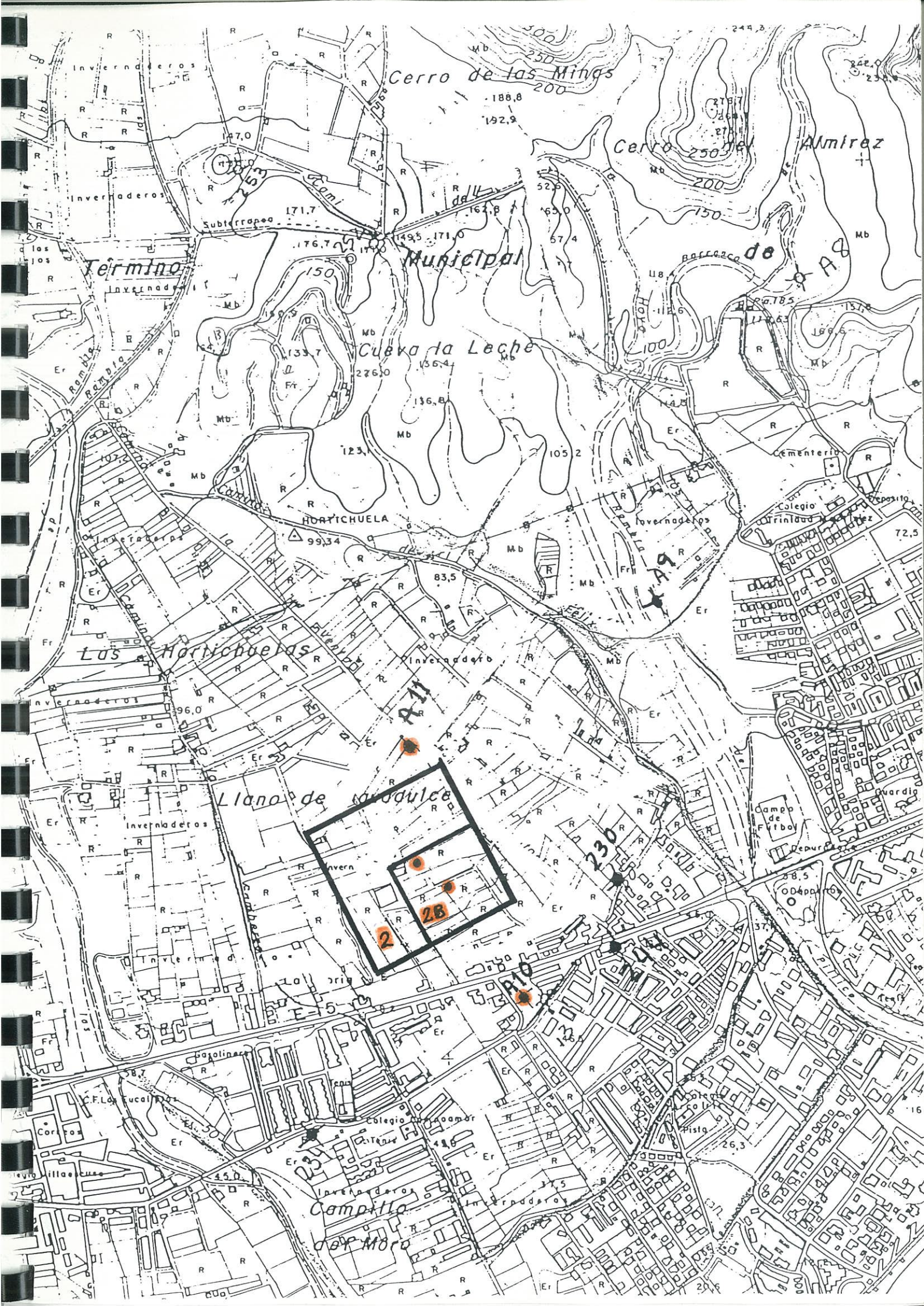


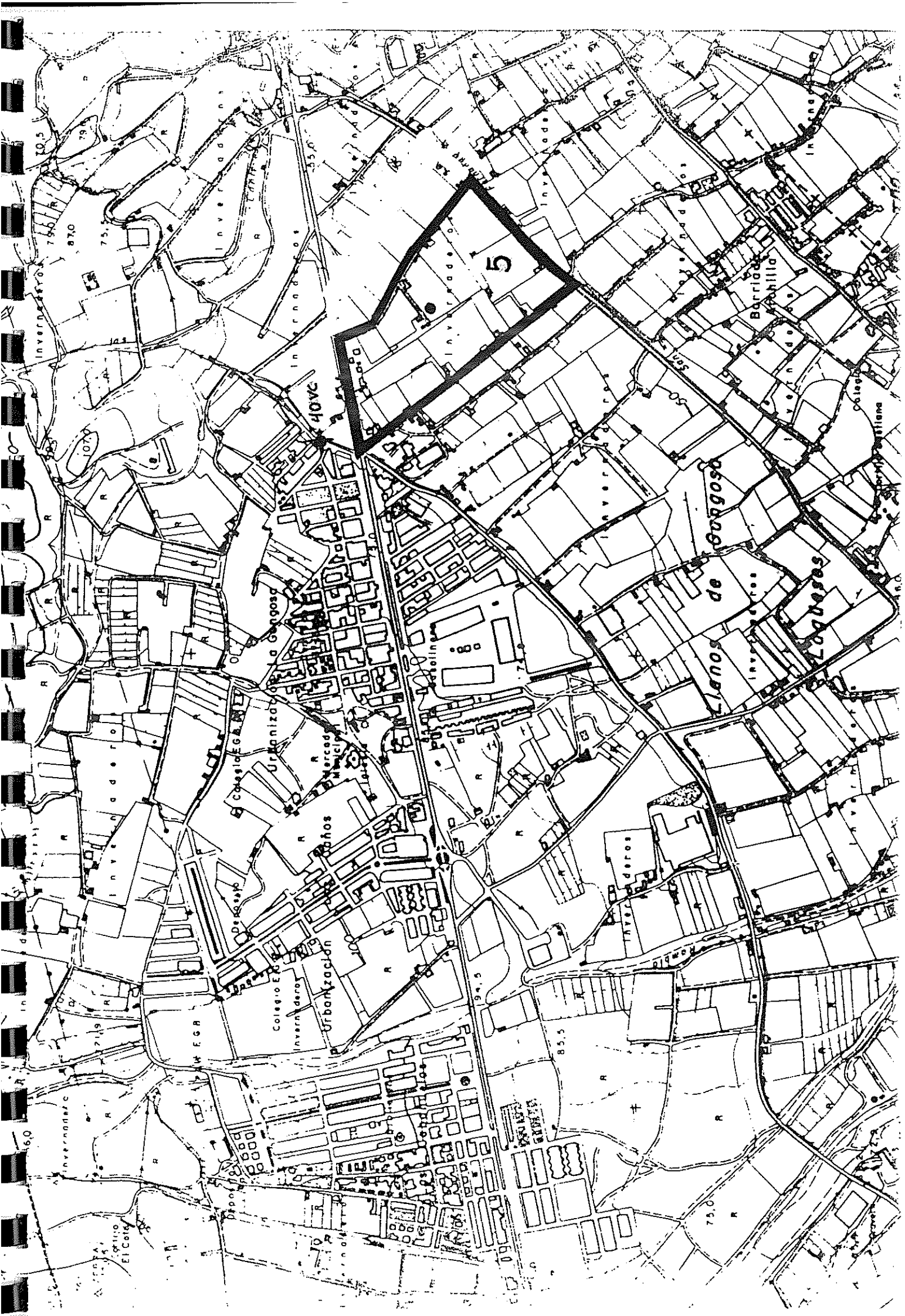
A handwritten signature in black ink, appearing to read "Angel Granda".

Fdo.: Angel GRANDA
Ingeniero de Minas.

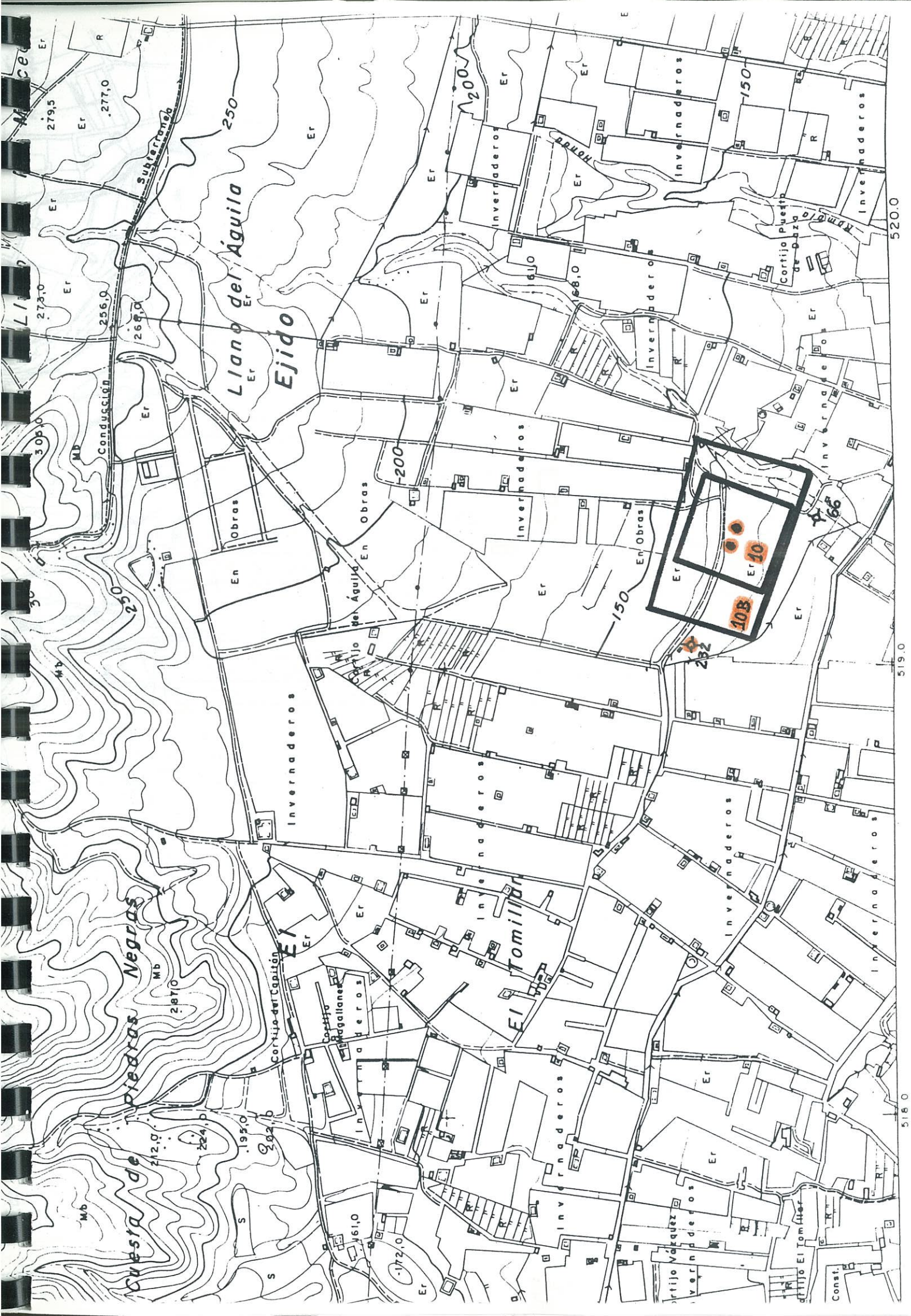
A N E X O n° 1

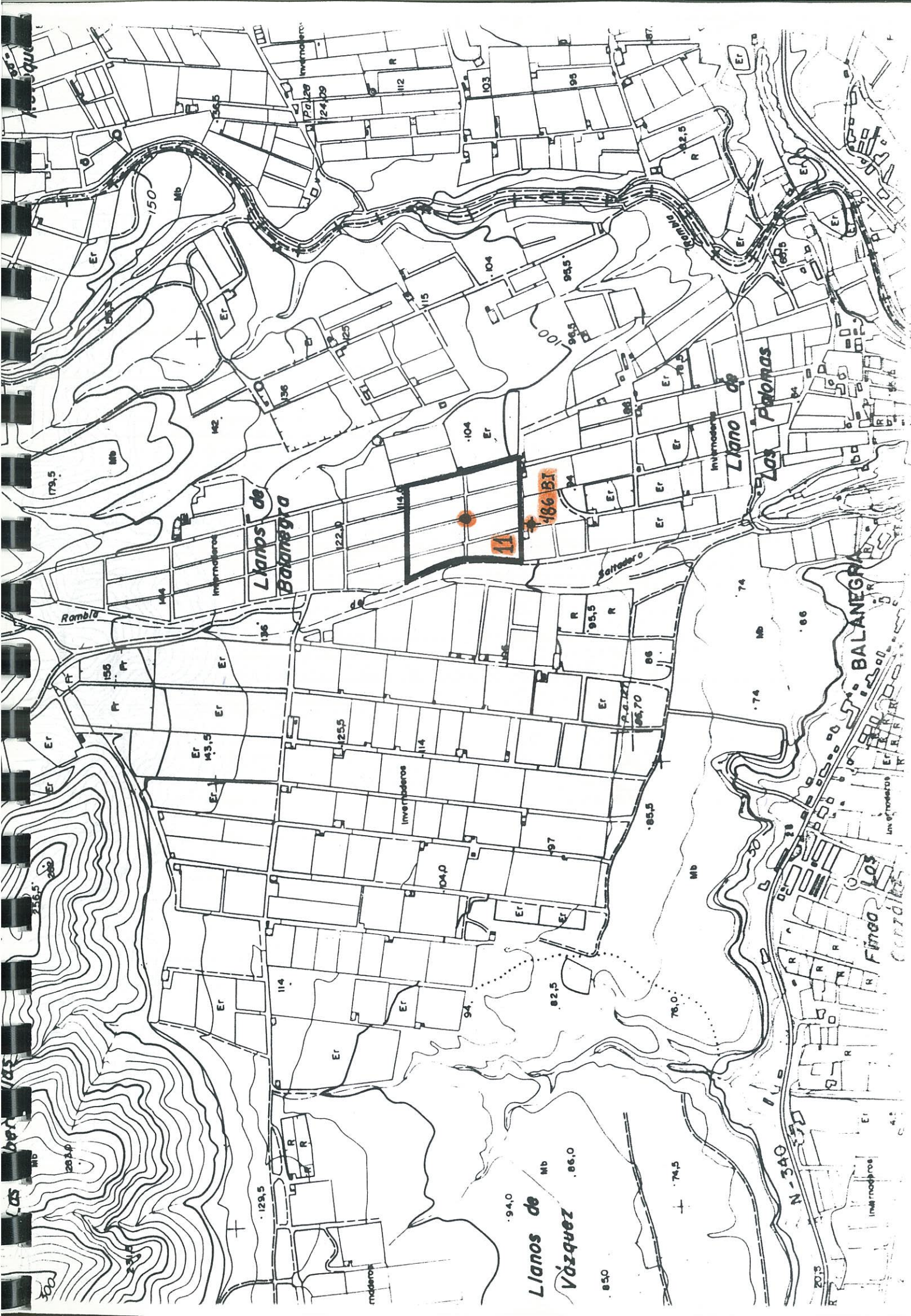
Localización de los puntos de medida. E. 1/10.000

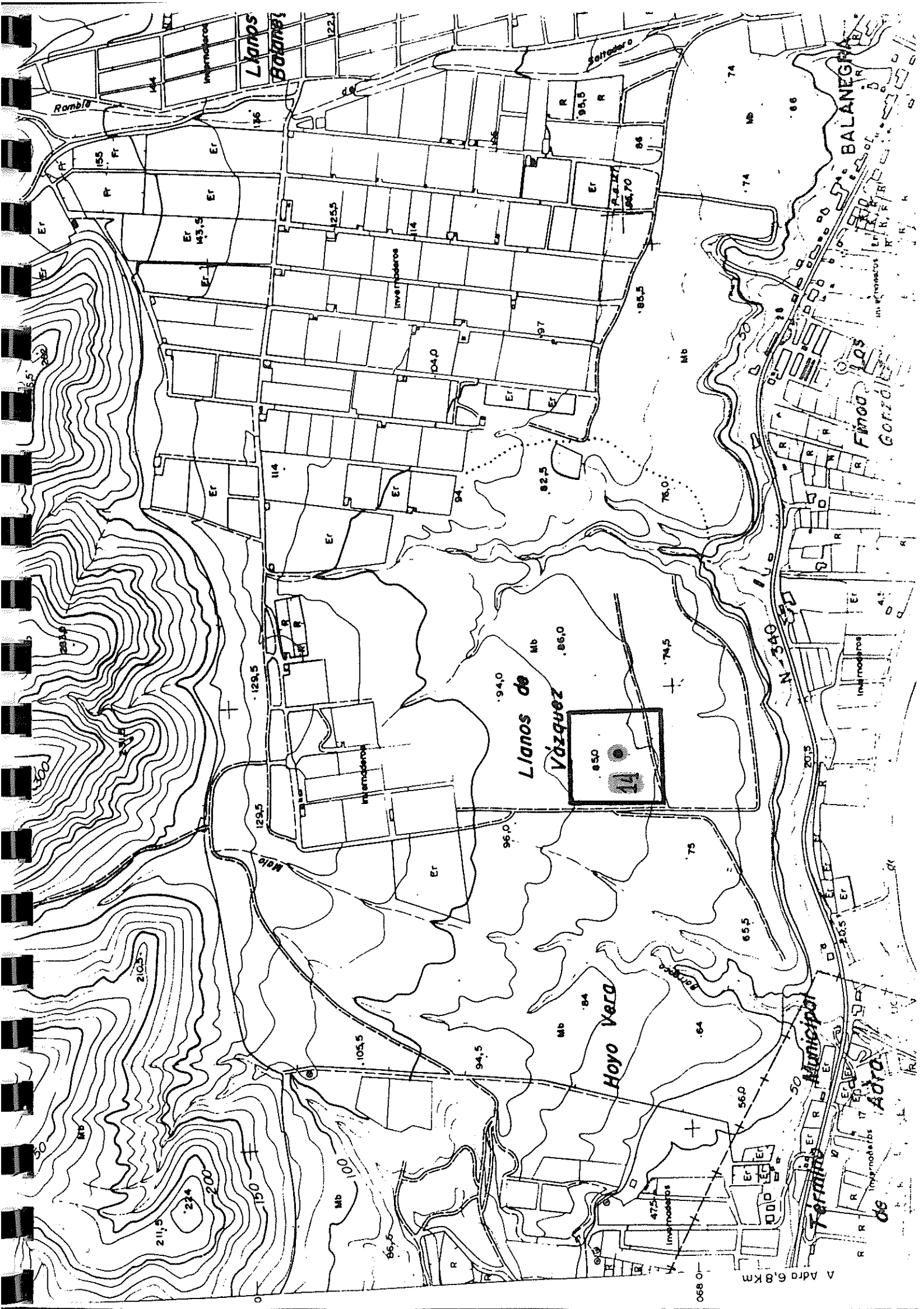












A N E X O n° 2

Información relativa a los sondeos mecánicos

MINISTERIO DE AGRICULTURA
INSTITUTO NACIONAL DE REFORMA Y DESARROLLO AGRARIO

Solicitado por ? Para el Proyecto: Sondaje particular para la finca de "COSENZA". Ejecutado por P.M.A (IRYDA)

Vivienda ALMERIA T.P. Municipal Dalias
Parcela o Fincos Llano del Agua Propietario terreno COSENZA
Propietario sondaje COSENZA

1/Octubre 22-44 (1.058) 1.2 Foto 34.724 Rollo 339.

COORDENADAS { Long X . 21.1 Y 32.3 Altitud(m.s.n.m) 144 ± 2

Cuenca hidrográfica: 54R Sistema hidrogeológico 43 (Campo Dalias)

Alturas: Profundidad nivel prensa

Decadencia hidrogeológica

del: 2-3-6. (Falling 2.500).

Sistema perforación: rotación, circulación directa

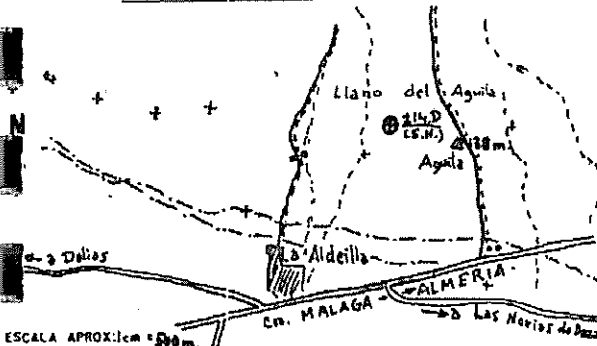
Inclinación 4-3-63. Terminación 25-1-64

Nivel Plazimétrica (s.n.m) 34.261.3

Nivel perforados: 39.0

ESCALA APROX: 1cm = 500m.

CROQUIS O ESQUEMA ESTRUCTURAL



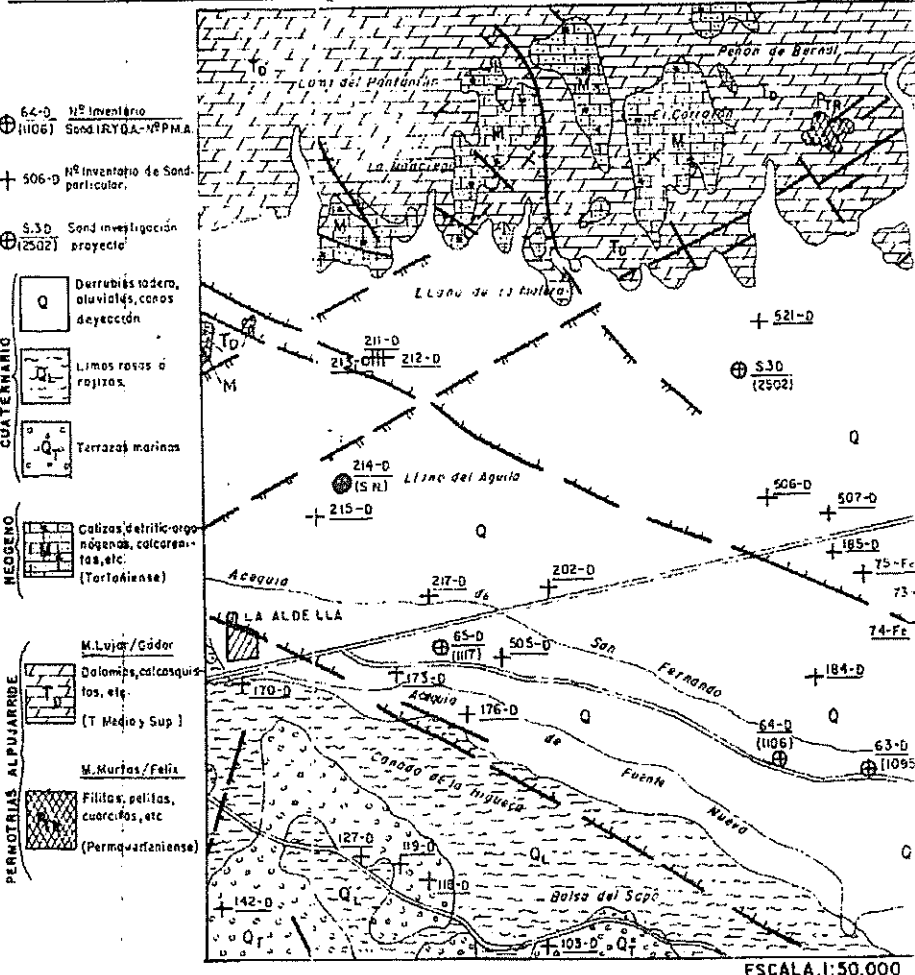
SONDEO: "COSENZA."

Nº en Proy. 214.D

ó inventario 2244-2-00

Nº SIN NUMERO
(P.M.A)

PLANO DE SITUACION Y LEYENDA (D)



DATOS DE CONSTRUCCION Y ACONDICIONAMIENTO DEL SONDEO

DIAMETROS
ENTUBACION
PERFORACION

ESQUEMA
MECANICO DEL
SONDEO
(ESCALA VERTICAL)
1:500

RESUMEN DE EJECUCION
Operaciones realizadas,
Incidencias
Otras observaciones.

MODO DE PERFORACION
UTILIZADO DE LA
HECHURA
VARIACIONES EN EL
FLUIDO DE TRABAJO
NIVEL LIBRE AGUA
Lodo

VELOCIDAD
DE AVANCE
1mm = 5 minutos
1mm = 10 minutos
1mm = 15 minutos

PERFIL LITOESTRATIGRAFICO

EDAD	FORMACION	COLUMNA LITOLOGICA	PROFUNDIDAD METROS
			40
			30
			20
			10
			0

DESCRIPCION DE LA
COLUMNAS INTERPRETADA

OBSERVACIONES
COMPLEMENTARIAS

TESTIFICACIONES, MODIFICACIONES POSTERIORES, CONSTRUCCION DEL SONDEO, CORRECCIONES A INTERPRETACION, etc.

Este sondeo que existe sólo partes de perforación incompleta y muy proporcionalmente una formación dudosa. Se consideró lo que no se llevó a explotar. Esto cubierto con una tapa de lodo, quedando la orilla orientada hacia el norte (N-S). La finca, próxima al final del tramo con salida a otro camino al oeste (E-W) la finca. Se cortaron 2 centenares de metros.

(Límite inferior aproximado)

Acuífero superior en "calcareo" (como se ve en la cuadricula, en realidad más grueso, conglomerado) del Plioceno.

níficos, angulosos),
del Mioceno.
Aparentemente, e-
star estos intervalos
con margas y par-
ticularmente con tebera-
nas margas dolomíticas
la permeabilidad
sea importante.

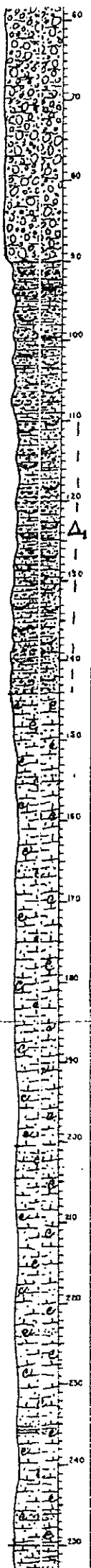
El nivel piezome-
trico de este acuífero
según los datos o-
 disponibles, fue de

N.P. = 34 m.s.m. (12)
N.P. = 28'2 m... (12)

④ Por deducción, a-
fiero inferior, los
"halocenitos" u
ceas ("Vicar") y si-
trato oligoárctido.
Se supone q-
el resultado de el
sondeo, en cuya
al acusarse un
río, no fue del
do correcto. Dado
ausencia de dato
(litológia del "v-
ceo", substrato
de calificación mi-
to del mismo, ó
suello y bombas
impide su
conocimiento.
Por del citado a-
fiero, puesto de
que se puso por
litológia apresu-
da que da el si-
dito, por los pe-
dos totales del
en el tramo fin-
por el dato d
nivel (a 136 m)
el valor real
do antes de ret
la tubería cierra
103 1/4", etc.

También se con-
el estado actual
la zona inferior
sondeo, si otra
tubular, si la t-
ría de 20333
colocada original-
te (cierra) se
tira, etc., etc.
ro se supone
dura, puede o
sellado este ac-
vo (42) y las
dades de nivel
se han tomad
sondeo, desde 19
correspondiente

12-12-74 — N.P. = 2



OCÉANO SUPERIOR - MEDIO

OCÉANO SUPERIOR - MEDIO

Tramo de margas arenosas (?) y
conglomerados blanquecinos

Tramo de limos margosos con
arenillas incluidas, y pequeños
de areniscas y conglomerados mar-
gocalcáreos, y/o arenas y gravas lito-
sales, muy bien rodadas, fundamental-
mente de cuarzo y dolomías

En general, frecuentes restos
de Moluscos, Equinídos, Forami-
niferos, etc.

Tonos amarillentos dominantes
Permeabilidad probablemen-
te muy variable

(Límites del tramo anterior)

Limos margoso arenosos, cuarzo-
mictos grises que pueden con-
tever restos de arenas, gravi-
llas litotiles, muy rodadas, de cuarzo
y dolomías.
Frecuente microfauna, especialmente
de Foraminíferos, restos de
Moluscos, Equinídos, etc.
En lo práctico, el tramo debe ser
imperviable, aunque existe algod-
nado o leudón arenoso con
cierta permeabilidad horizontal.

267/273 mm. de diámetro?

365
95%
12%
21%
83%
0
200%
75%
0
389
290

Extra testigo

Extra testigo

② Entrada con 457/465 al m. 148.4; ③ Engranado a 151.5 y despegado a 150m.
y Entrada con 261/271, 107" (ciego) y de 7" a 310m. (vichosamente queda al lado el tramo superior). Contiene perforación con 380" y 347" de

Pérdida total todos los m. 148.4-150m. (vichosamente quedó a 151.5) al m. 220. Tornillo fijando Rosca de tubo. Fijado a Rosca de tubo. M. = 136 m. (vichosamente quedó a 137m.)

Sacarírala columna de 100% desprendiendo en columna perdida al tramo 148.37m. m. de 261/273 mm. 0, con lo que queda libre el tramo rajado superior.
- Inyectar agua clara y volvalesca. El nivel de agua entubada oscila entre 113 y 132 m.
- Mar adelante con la bocanera 1-3-4 se efectúan una limpia y "piso de sellado" hasta el m. 389.

Menor avance

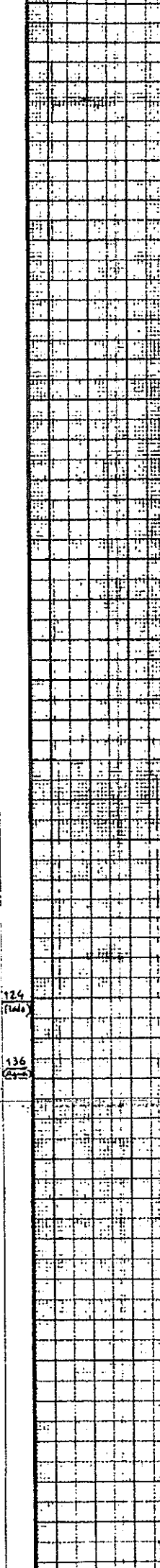
Torres más abajo

Torres de perforación

124
(140)

136
(140)

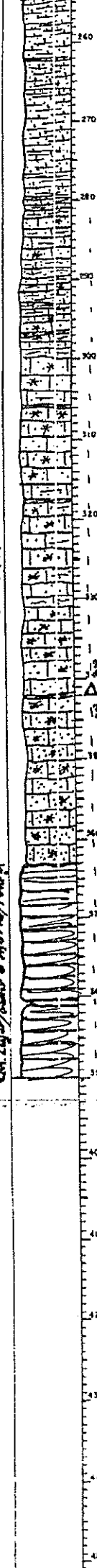
151
(140)



TRAMAS AL PUERTO ARRIBA (?) — TRAMAS AL PUERTO ARRIBA (?) — TRAMAS AL PUERTO ARRIBA (?) — TRAMAS AL PUERTO ARRIBA (?) —

"V I C A R"

CM. Líq./Gás/o. Morto/Fuerte



Trauco de margas recuasadas (?) y margas calcaro-arenosas blancas, con algunas probable intercalación m. calizares y calizante. Debe ser prácticamente impermeable

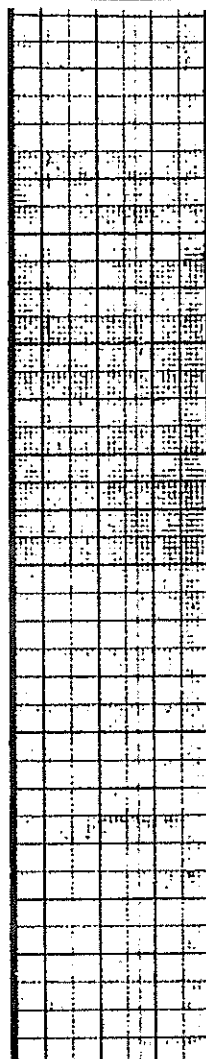
Calizas detriticorganicas, con tramas de dementos/dolomíticos (70% bárbicamente dominantes en algunas de la base) y de cuarto, etc., junto con restos de Moluscos, Equinidados, Bivalvos, y, especialmente al techo, abundantes Algar, Totomiliferas, bentonitas.

En general deben ser calizas para ser — por disolución de fosiles y de los mitridos, con tramas más detriticas — calcáreas, arenosas, con conglomerados, incluso — y algunos yesos o menas margosas.

Todos amarillentos, ocreos, blancos, quebradizos, blandecientes, etc. Al techo un tramo más blando dominanteamente margoso y calizomargoso.

Sesupone, en conjunto, permeable.

Muy probablemente substrato alquitráide. Muy díficil saber si el tramo alcanzado: es dolomita o filitas/cuarizitas calcoesquistos? Se ha considerando de filitas/cuarizitas



VARIACIONES POSTERIORES EN PROPIA DAD Y ENTUBACION DEL SONDEO.

**MACIZO
DE
GRAVAS**

Velocidad teórica
Volumen real
Grava de:

GRAFICA DE ADMISSION
MACIZO DE GRAVAS

MUESTRAS DE LA COLUMNA DEL SONDEO ARCHIVADAS EN:
NO SE CONSEGUARON

DESARROLLO Y TRATAMIENTOS

ROMBEOS DE ENSAYO

MUESTRAS ANALIZADAS (a • metros)

LAMINAS DELGADAS, LEVIGADOS, GRANULOMETRÍAS, COMPLEXOMETRÍAS, ETC ETC

POZO DE ENSAYO					POZO DE OBSERVACION	
FECHA	BOMBA	N.L.	F ₂ / T	N.D.T	DISTANCIA (MTS)	DESCENSO
12-12-74	—	445'7				

Nota: A falta de muestras de perforación y terrera del sondaje la interpretación de las columnas se ha hecho a partir de los parámetros del sismista — también con una información muy fragmentaria — contrastadas con el dibujo geológico del entorno y otros sondeos de la zona.

COMPLETADO

DATOS SOBRE CALIDAD DEL AGUA

MÉTODO Y CONDICIONES TÓMIA MAESTRA

RESUMEN ANALISIS

CARACTERÍSTICAS HIDRÁULICAS DEDUCIDAS

T	S	Q/a	Re
---	---	-----	----

1000 2000 3000 4000 5000 6000 7000 8000 9000 10000

CAUDAL / N DINAMICO RECOMENDADOS.

APRECIACION DIRECTA.

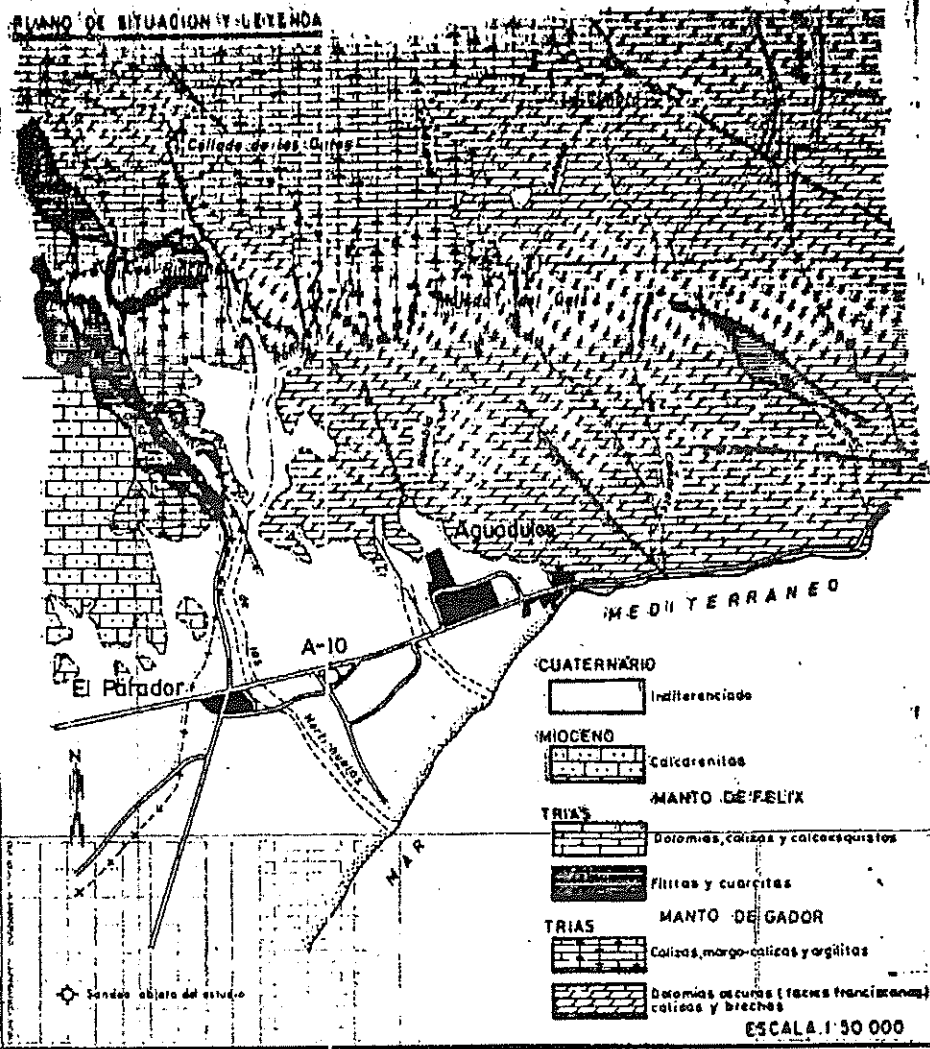
CONDUCTIVIDAD
RESIDUO SECO
CLORUROS
SULFATOS
NITRATOS
DUREZA

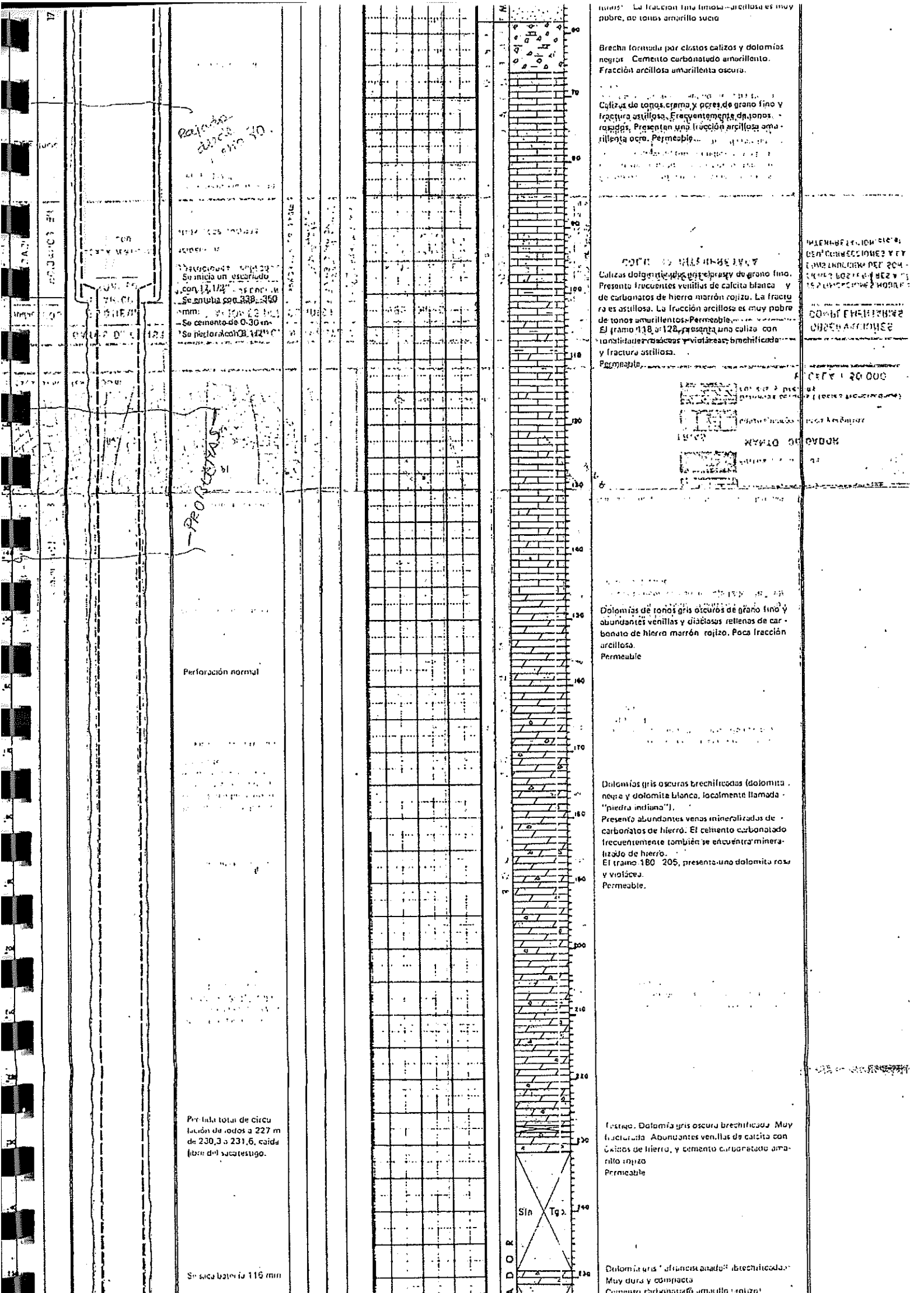
INSTITUTO GEOLOGICO Y MINERO DE ESPAÑA

SÓNDEO: INVESTIGACIÓN/INTRUSIÓN MARINA NR en Proy. 2244/04/173
EN AGUABUDE (CAÍPO DE DALIAS) inventario

Nº A-10

Nombre del Proyecto	INTRUSION MARINA	El proyecto se divide en 3 secciones
Almeria	ROQUETAS DE MAR	
Ventas de Vizcaino	Playa de Torre, Ayto. ROQUETAS	
Utrera	Playa de la Cala, UTRERA	
Almeria	PASADA A. (Almeria)	
Almeria	Long. 1000 m.	Larg. 1000 m.
Almeria	X 698.150	M. 246.000
Almeria	Altitud 110 m.	32 + 5
Cuadro hidrogeológico	BUR	Sistema hidrogeológico Águilas Inf. NE
ESTRUCTURA GEOLOGICA Y CONTROL INTERFASE		
Altitud prevista	500 m.	Profundidad nivel previsto 32,20 (13-4-88)
Documentación hidrogeológica		
FAILING 2.500		
Sistema perforación	ROTACIÓN CIR. DIRECTA	
Iniciada	11 ENERO 88	Terminación 15-FEBRERO 88
Nº perforados	529	Nivel Plazmatraca (6 x m) 11





Serious Water is 116 min

Perforación con dificultad por desprendimiento de las paredes, teniendo que repasar el tramo entre 230 a 326

Se saca fuerza a 116 mm

Se saca batería 116 min

Se saca batería 116 min

Se saca batería 116 mm

Preparación lenta.

Sig saca batería 116 mm

Se sacó batería 116 mm
Perforación nominal

Scanning length: 4.15 mm

Geometric MC's

Dolomia gris "al francés canadiense" ó cretítico dorado.
Muy dura y compacta.
Cemento curado hasta el amarillo "májizo".
Frecuentes venillas de caliza: CaCO_3
Permitido: CaCO_3 ó CaO ó Ca(OH)_2

Dulomita gris "ofranciscanada" brechificada.
Tronco duro y compacto. Bundeado con buza-
miento de 45°.
Permeable.

Maria *arcilla* amarillenta.
30 cms de caliza crema amarilla óquerosa y con
desglosos pelícuulas de arcilla roja (286-286.30)
Frám o más blando

Caliza crema y gris, con estratificación laminar en delgadas películas (mm) de arcilla roja y amarilla (30-400) de buceamiento.
Presenta quercurasidades. Tiene más duro. El metro 305-306, caliza brechilizada con un cemento rojo. Brucha roja.
Permeable

Dolomía de grano fino de tonos "caquí" con delgadas películas de arcilla roja y venillas de calcita. Presenta oquerosidades y textura esquistosa. Tronco más duro. Permeable

Dolomita gris con vetas de calcita blanca y
arcilla amarilla. Tramo más fracturado, siguen
do plenos de "esquistosidad" llenos de arcilla
amarilla.
Tramo duro, menos compactado y más fractura-
do. Población:

Calcesquistos grises margosos, dejando al romperse una pátina gris acerada. Presenta una "piramidalidad" subhorizontal y unas delgadas películas (lamí) de arcilla gris oscura, untuosa al tacto.

Calcosquistos grises margosados con pártina gris acerada. Presenta pizarrosidad y películas de arena gris oscura de varios mm de espesor. Encima más refido y blando.

Mafusus. Tromo más plástico

Se saca batería 116 mm

Perforación normal

Se saca batería 116 mm

Al sacar la manivela
del triconio, se agarra.
Si conseguís soltar.

Se saca batería 116 mm

Perforación lenta

Se saca batería 116 mm

A 529 m, operación de
escoriar de 100 a 529 m
con 8 1/2;
Se enjuaga con 7" w.c.
lava el sondio con
varillaje al fondo 3 1/2

529

529

529

529

529

529

529

529

529

529

529

529

529

529

529

529

529

529

529

529

529

529

529

529

529

529

529

529

529

529

529

529

529

529

529

529

529

529

529

529

529

529

529

529

529

529

529

529

529

529

529

529

529

529

529

529

529

529

529

529

529

529

529

529

529

529

529

529

529

529

529

529

529

529

529

529

529

529

529

529

529

529

529

529

529

529

529

529

529

529

529

529

529

529

529

529

529

529

529

529

529

529

529

529

529

529

529

529

529

529

529

529

529

529

529

529

529

529

529

529

529

529

529

529

529

529

529

529

529

529

529

529

529

529

529

529

529

529

529

529

529

529

529

529

529

529

529

529

529

529

529

529

529

529

529

529

529

529

529

529

529

529

529

529

529

529

529

529

529

529

529

529

529

529

529

529

529

529

529

529

529

529

529

529

529

529

529

529

529

529

529

529

529

529

529

529

529

529

529

529

529

529

529

529

529

529

529

529

529

529

529

529

529

529

529

529

529

529

529

529

529

529

529

529

529

529

529

529

529

529

529

529

529

529

529

529

529

529

529

529

529

529

529

529

529

529

529

529

529

529

529

529

529

529

529

529

529

529

529

529

529

529

529

529

529

529

529

529

529

529

529

529

529

529

529

529

529

529

529

529

529

529

529

529

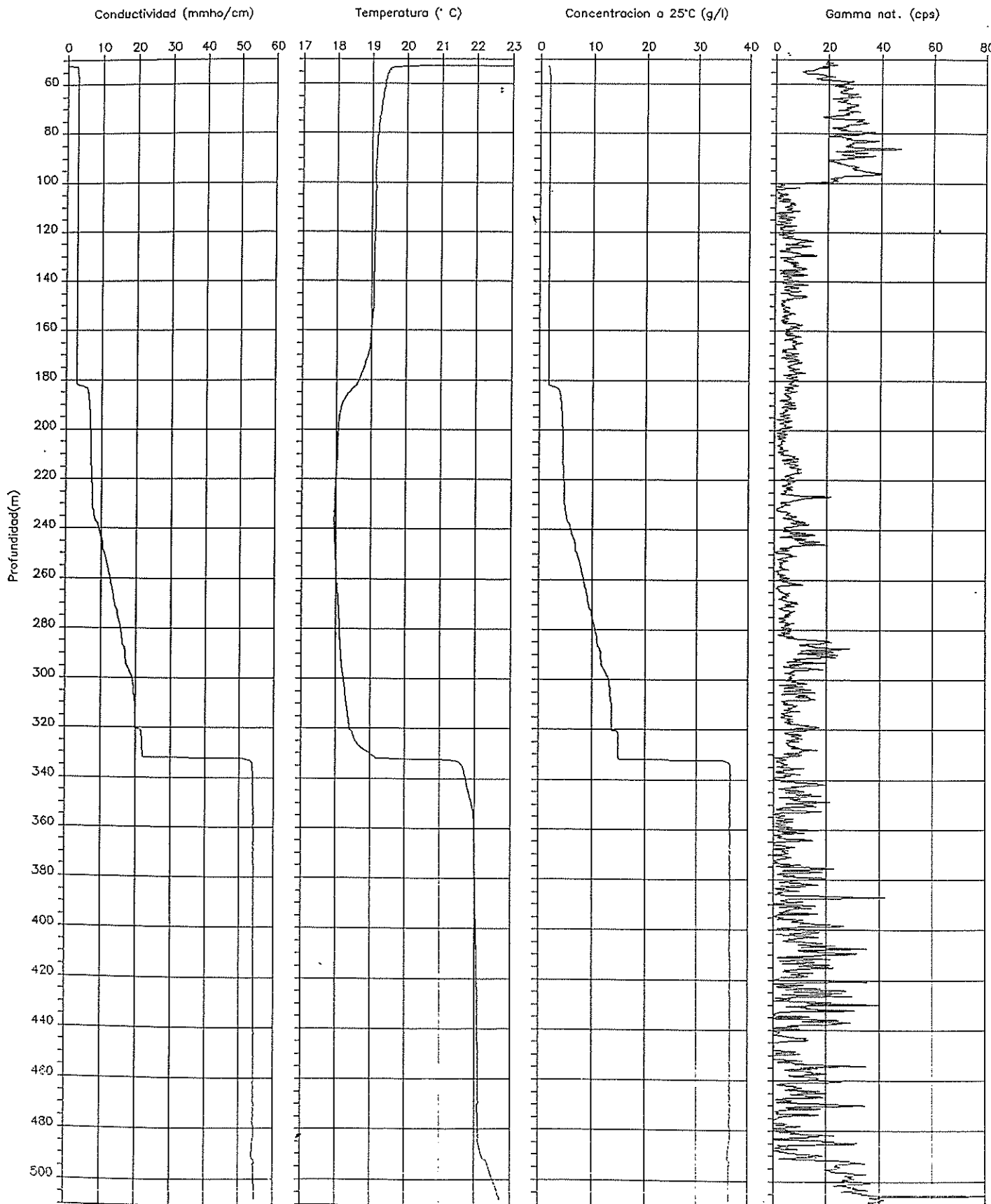
529

52

Sondeo: A10
Localidad: Aguadulce
Provincia: Almeria
UTM (X): 537200
UTM (Y): 4074150
Cota: 51.83 m
Datum log: Borde tubo

Fecha: 19/10/95
Hora: 12:05
Tramo test.: 50-508 m
Prof. perf.: ?
Nivel fluido: 52.66 m
T ambiente: 27.8°C
Tiempo de reg.: 2h 30 min

Velocidad: 4 m/min
Equipo: Pro-LOGGER
Sonda: TCGS 1497
Fichero ACL: RG2A10
Fichero ASCII: A10-* .RG2
Consultor: IGT, S.A.



→ y z tramos pueden encontrar-se (?) restos de material volcánico alterado y elementos aluminíferos.
Esta parte inferior es muy poco permeable o impermeable.

(Límites aproximados)

NE 3/90.

No 6/89
F-Sodis

A est - Dist ± 2m

← Se detecta agua en el sondeo, sobre el m. val 2.66 m.

No varía el nivel con los límpidos

Extrae la tubería de tramo (390/610) y Entuba con 490/505 mm Ø al piso. Reduce a 480mm Ø

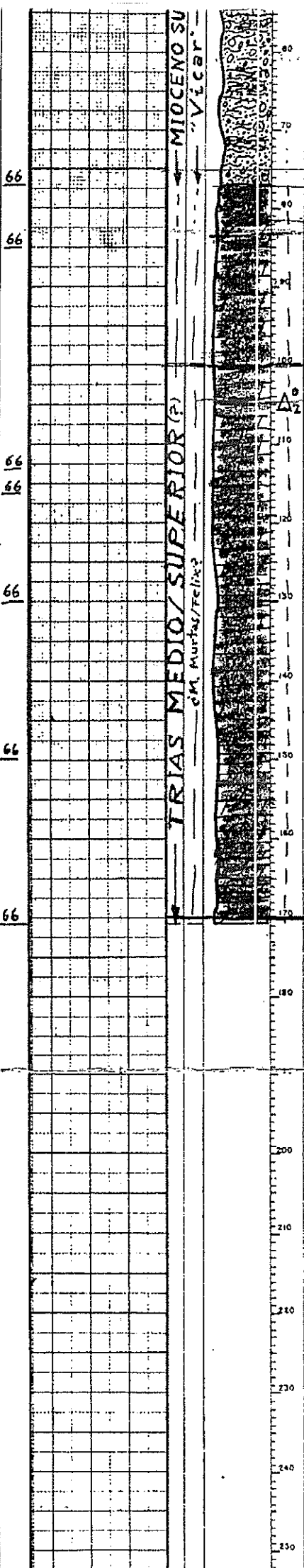
Baja la tubería al m. 413
← Baja la tub. al m. 116

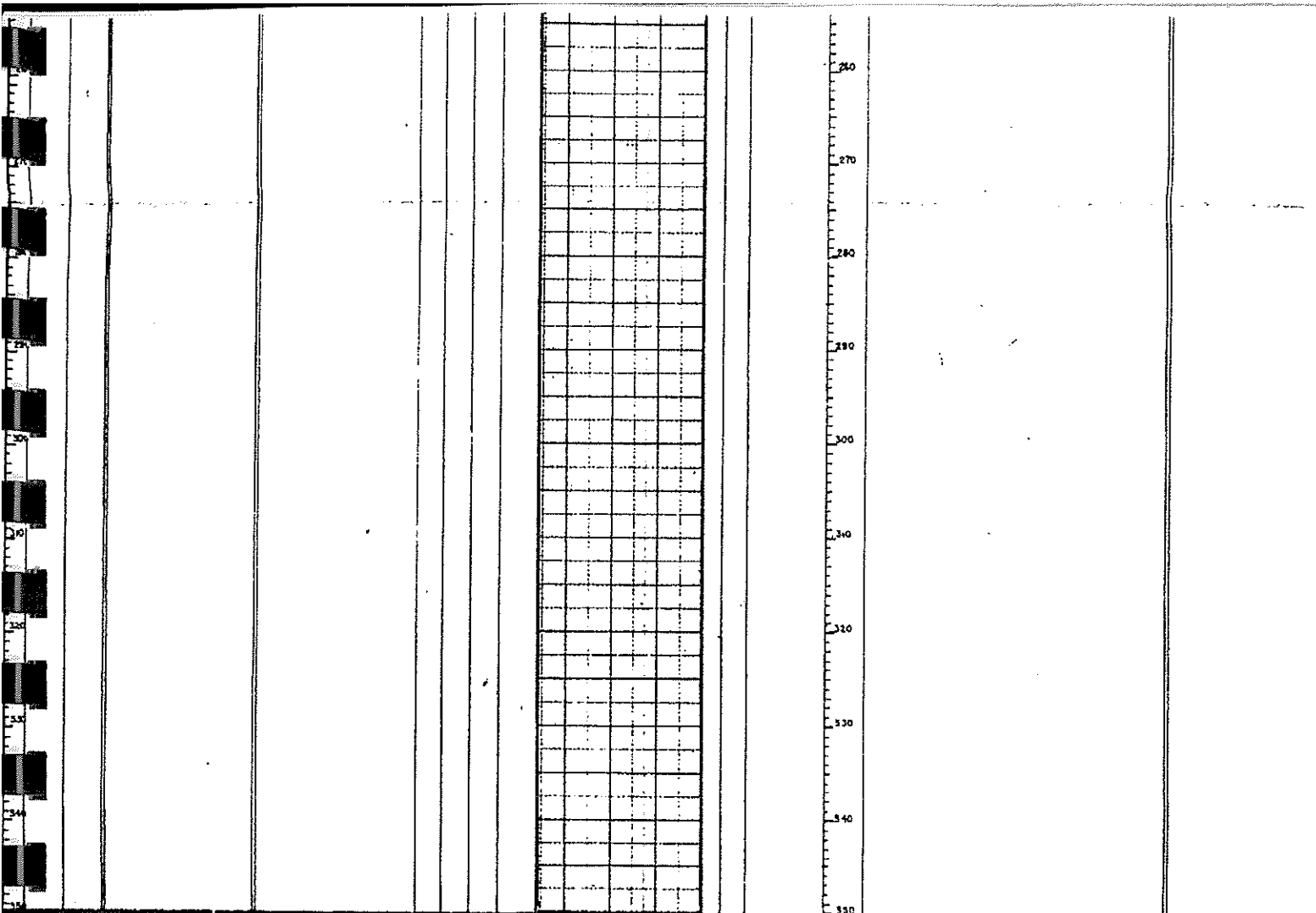
← Baja la tubería al m. 128.8.

Baja la tub. al m. 145.9 y reduce a 465mm Ø

Extrae la tubería de 490/505 mm Ø y Entuba con 12 1/4" combinado con 400/415 mm Ø y 490/505 mm de Ø en columna. Una hasta el piso.

Se cementa entubamiento de la tubería. Coloca una tapa a la muestra y devuélvete.





VARIACIONES POSTERIORES EN PROFUNDIDAD Y ENTUBACION DEL SONDEO.

MACIZO DE GRAVAS

Velocidad teórica
Velocidad real.
Grav. de ...

GRAFICA DE ADMISION
MACIZO DE GRAVAS

MUESTRAS DE LA COLUMNA DEL SONDEO ARCHIVADAS EN:
No se conservaron muestras de perforación

DESARROLLO Y TRATAMIENTOS

BOMBEOS DE ENSAYO						
POZO DE ENSAYO				POZO DE OBSERVACION		
FECHA	BOMBA	N.L.	F _s / T	N.D / T	DISTANCIA (MTS)	DESCENSO
17-8-65	7178	66'25	39/15h	66'35/2		
		recup.	-39' 6"	66'25		
11-12-64	—	69'83				

MUESTRAS ANALIZADAS (a = metros)
LAMINAS DELGADAS, LEVIGADOS, GRANULOMETRÍAS, COMPLEXOMETRÍAS, ETC ETC

Notis: A falta de muestras, el sondeo se ha interpretado con los datos de los partes de perforación, restos (casi inexistentes) de la tijera de la obra, datos verbales del capataz, Sr. Diaz y otros sondeos del entorno, todo ello contrastado con el ambiente geológico de la zona.

COMPLETADO:

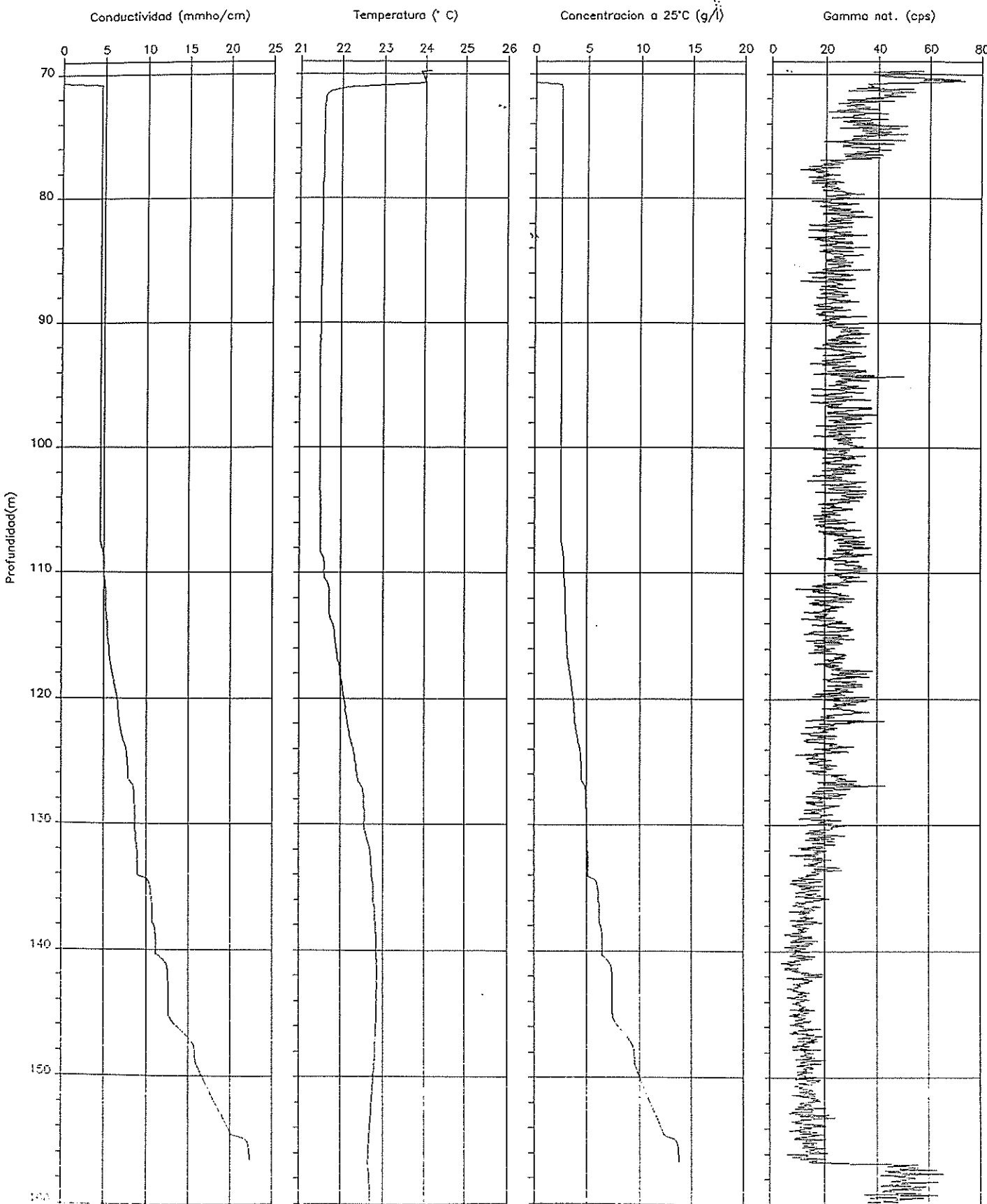
CARACTERISTICAS HIDRAULICAS DEDUCIDAS			
T	S	Q/s	Rq
CAUDAL / N DINAMICO RECOMENDADOS			
FECHA	L/A	A...	M/A

METODO Y CONDICIONES TOMA MUESTRA	RESUMEN ANALISIS
	CONDUCTIVIDAD
	RESIDUO SECO
	CLORUROS
	SOLFATOS
	NITRATOS
	DUREZA
APRECIACION DIRECTA	
SABOR	
OLOR	
TURBIDEZ	
TEMPERATURA	

Sondeo: 40Vc
Localidad: Gangosa
Provincia: Almeria
UTM (X): 534460
UTM (Y): 4073660
Cota: 70.45 m
Datum log.: Chapa

Fecha: 3/11/95
Hora: 10:10
Tramo test.: 69-160 m
Prof. perf.: ?
Nivel fluido: 70.94 m
T ambiente: 26°C
Tiempo de reg.: 25 min

Velocidad: 4 m/min
Equipo: Pro-LOGGER
Sonda: TCGS 1497
Fichero ACL: RG240VC
Fichero ASCII: 40VC-*.RG2
Consultor: IGT, S.A.



**MINISTERIO DE AGRICULTURA
INSTITUTO NACIONAL DE REFORMA Y DESARROLLO AGRARIO**

 Sondado por: Para el Proyecto Ejecutado por:
Delegación IRYDA **Nuevos Regadíos en Cpo. Dalias** **IRYDA (P.M.A.)**

 Pueblo: ALMERIA Municipio: DALIAS
 Partida o Fincas: Rbla de Andrej. Pesci Propietario terreno:
 Propietario tierras: IRYDA

 Octante: 22-44 /1 Foto: 35.323 Reloj: 3.39
 (4.058)

COORDENADAS Long. X 19.5 Y 72.5 Altitud (m.s.n.m) 120.8 + 2

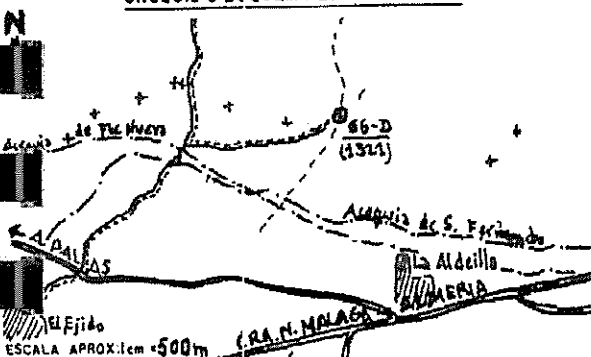
 Cuencas hidrográficas: SUR Sistema hidrogeológico: 4.3
 (Campo Dalias)

Objetivos: Profundidad nivel prevista:

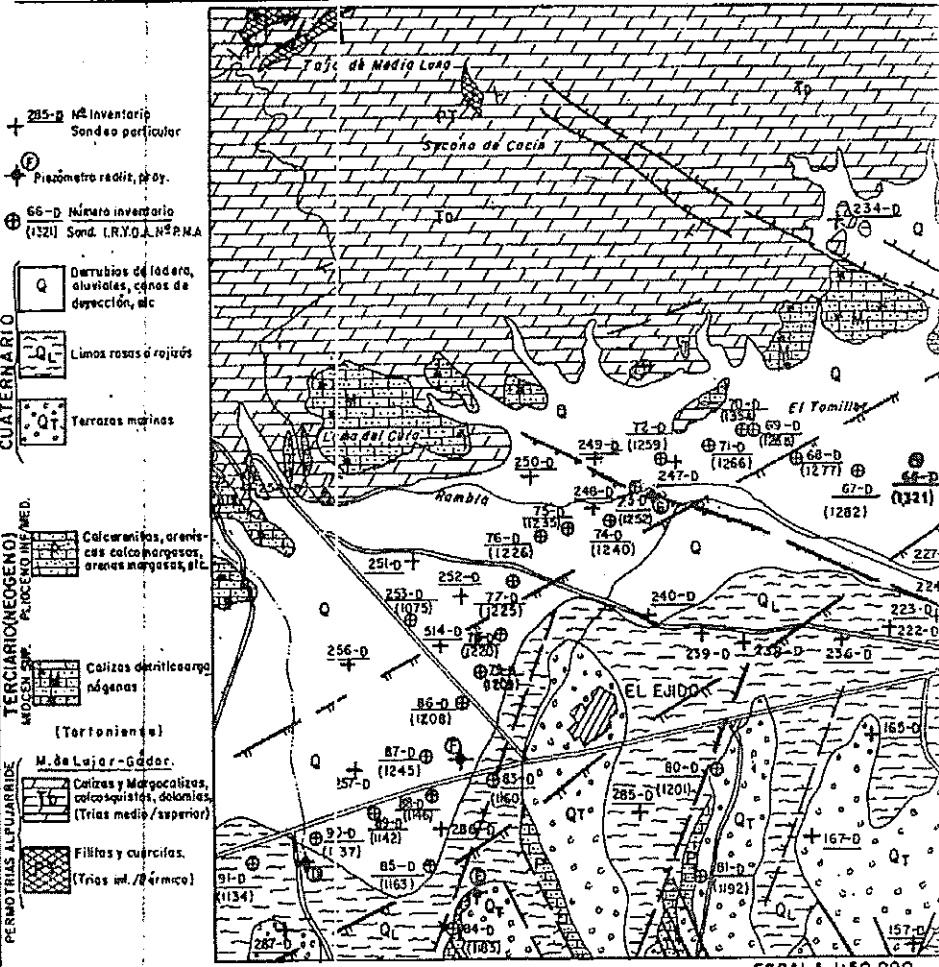
Dureza prevista: Documentación hidrogeológica

 2.3-5 (Falling 2.500)
 Perforación: rotación, circulación directa

 Iniciación 19-8-66 Terminación 19-9-66
 Perforaciones: 313 Nivel piezométrico (s.n.m.) 10'5

CROQUIS O ESQUEMA ESTRUCTURAL


SONDEO: 66-D Sector IV.

Nº en Proy. 66.D
o inventario 2234-1-019Nº
(P.M.A.) 1321
PLANO DE SITUACION Y LEYENDA (B)


ESCALA: 1:50.000

DATOS DE CONSTRUCCION Y ACONDICIONAMIENTO DEL SONDEO

 DIAMETROS
 PERFORACION
 (ESCALA VERTICAL)
 1:500

 ESQUEMA
 MECANICO DEL
 SONDEO

1:500

 OBSERVACIONES DEL SONDISTA
 RESUMEN DE EJECUCION
 Operaciones realizadas:
 Incidencias:
 Otras observaciones:

 TIPO DE PERFORACION
 UTILIDAD DE LA
 HERRAMIENTA
 VARIACIONES EN EL
 FLUJO DE TRABAJO
 NIVEL LIBRE LOGO

 VELOCIDAD
 DE AVANCE
 1mm = 3 minutos
 1mm = 10 minutos
 1mm = minutos

 EDAD
 FORMACION

 COLUNNA
 LITOLOGICA
 PROFUNDIDAD MTS.
 (ACABADO)
 (SOLERA)

 DESCRIPCION DE LA
 COLUMNA INTERPRETADA

**OBSERVACIONES
 COMPLEMENTARIAS**

 TESTIFICACIONES, MODIF.
 ACIONES POSTERIORES AL
 CONSTRUCCION DEL SON-
 DEO, CORRECCIONES A L.
 INTERPRETACION, etc., etc.

 Sondeo monta-
 ñón sin explotar.

 ① Posible aumento
 aguas de escasa
 tides, en "calcareo-
 glicosis", que es
 descargarse hacia
 superficie Az

 ② Acuífero in-
 vior en el conju-
 "calcareitas" mío-
 nos ("Vicar") + sub-
 strato dolomítico 2
 y pizarra

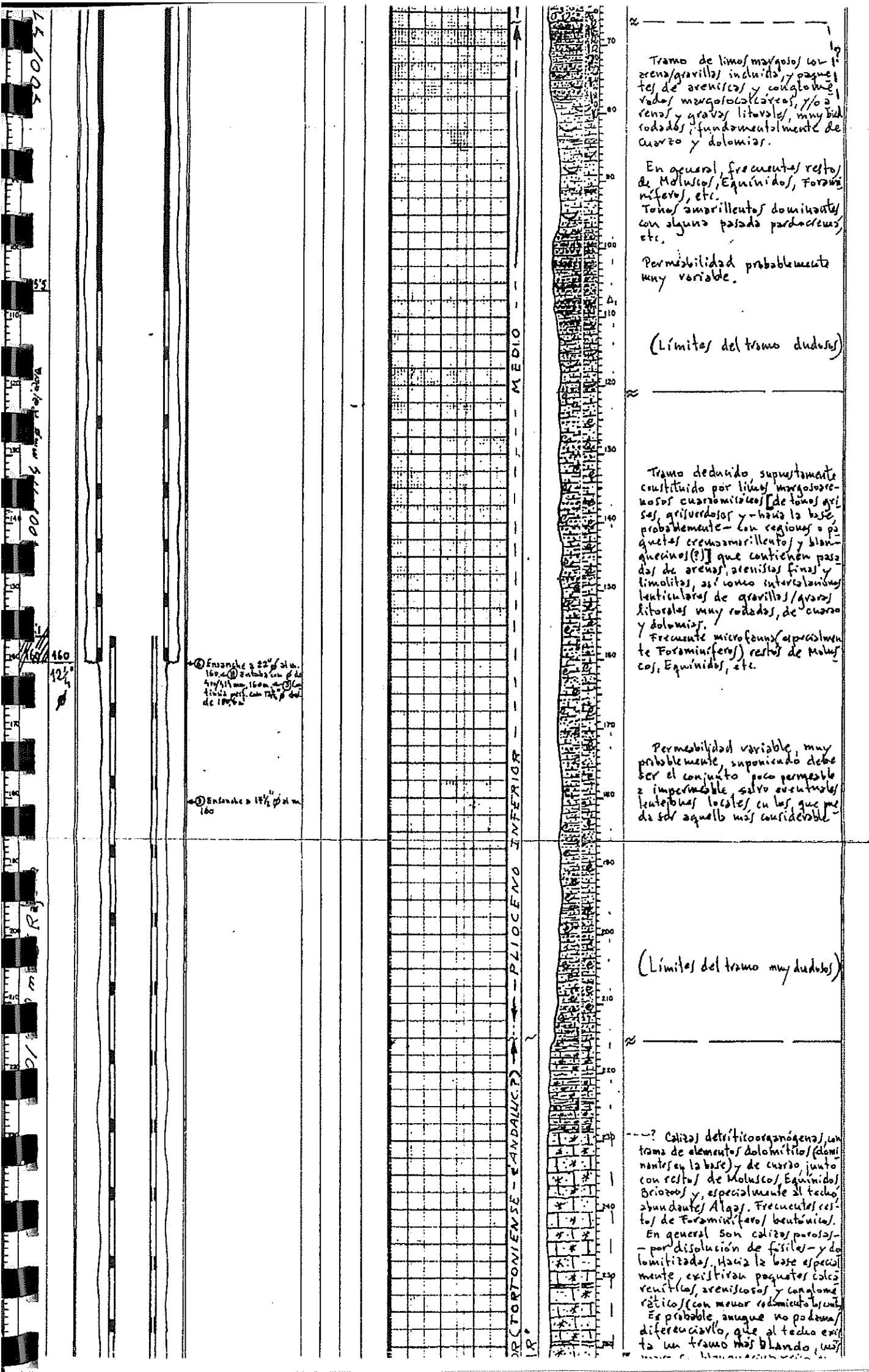
 Conglomerados de cantos do-
 minadamente dolomíticos, muy
 heterométricos (gravillas a
 bollos grises) con matriz arcilla-
 llosa pardorobijada en propor-
 ciones variables, y con zonas
 mas o menos concretadas por un
 caliche escuadrado, que envuel-
 ve también los elementos de la
 trama en muchas zonas. Estos
 conglomerados son -aparentemente-
 mas frecuentes hacia el techo

 (El límite inferior es muy
 dolidoso)

 La variación con-
 da del nivel piezo-
 trió (G.n.m.) del
 acuífero Az, en el
 punto, es de:

N.P. = 10'5 m (20-2)

N.P. = 4'8 m (15-12)



→ Pérdida total lodos

→ Se restablece inyección

→ Pérdida total lodos

→ Se establece la circulación.

→ Se pierde la inyección y perfora con perdigal

Entuba con 200/210 mm
del 156'15 al 313, en
columnas perdidas.
Valvulas (12 juntas). H.H.R.

↓

(?)

lodo

↓

lodos

↓

↓

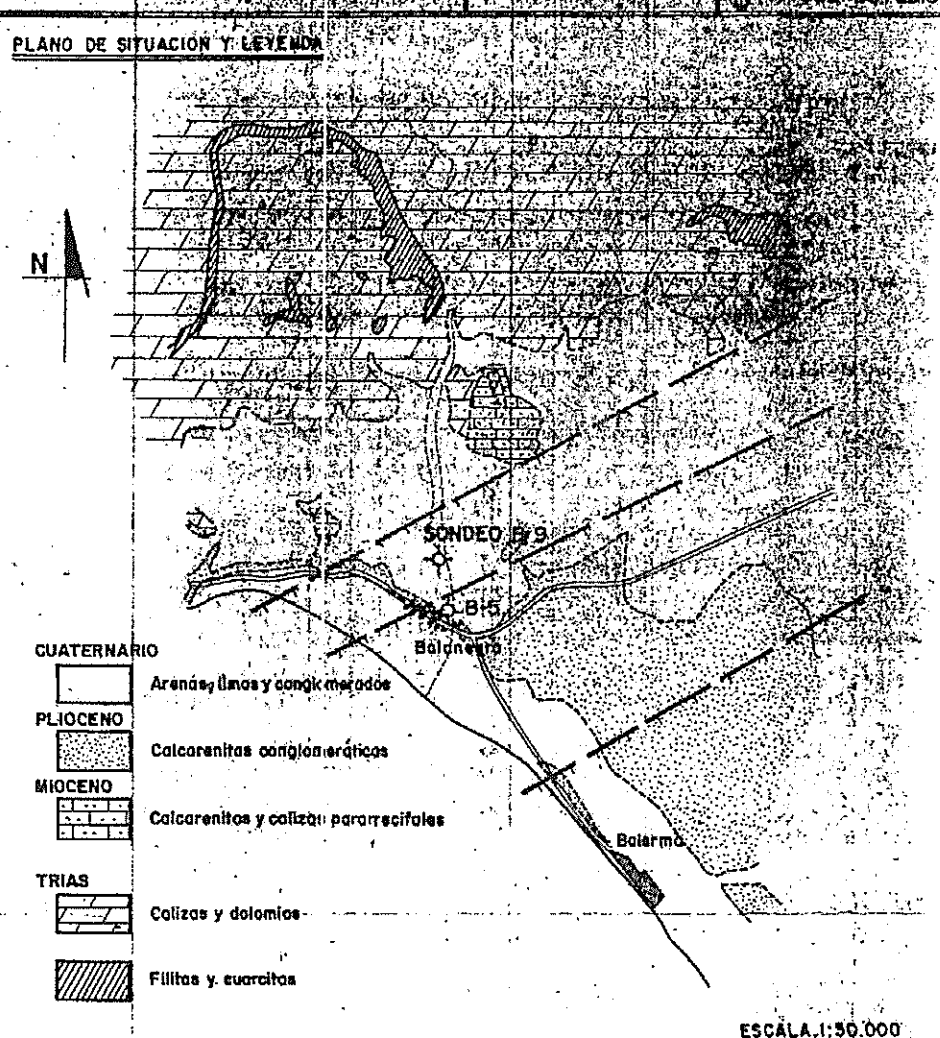
**SONDEO: INVESTIGACIONES ESTADISTICAS
MARINA. BALANEGRA CAMPO DE DALLAS**

Digitized by srujanika@gmail.com

THE END

SISTEMA ESTRUCTURAL

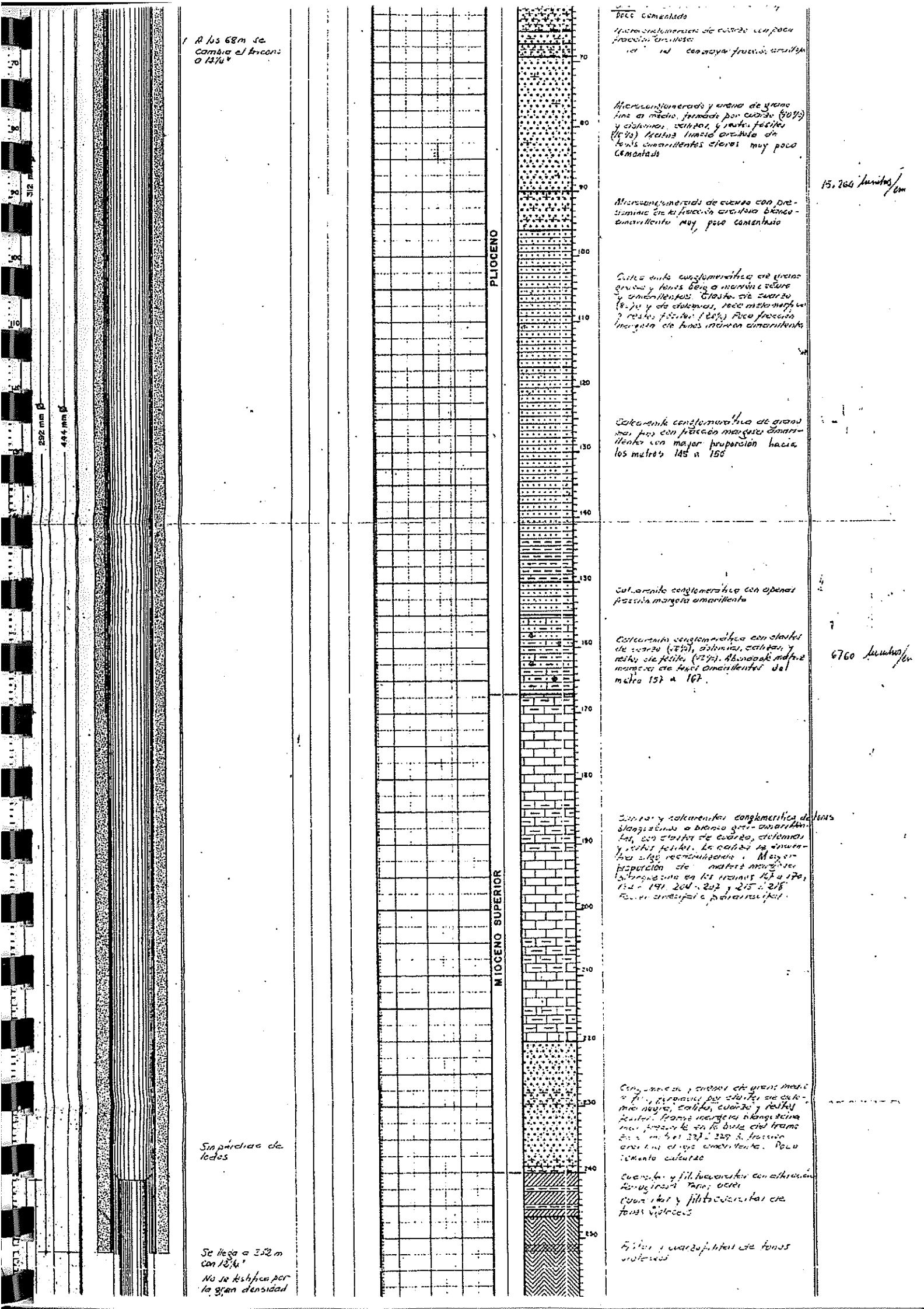
ESCALA APROXIMADA 100 m.



DATOS DE CONSTRUCCIÓN Y ACONDICIONAMIENTO DEL SONDEO

PERFIL LITOESTRATIGRAFICO

OBSERVACIONES COMPLEMENTARIAS



No se testifica por
la gran densidad
de lodos

Se ensancha a 17 1/2'
en todo su lecho.
Se realiza una
testificación eléctrica.

Se talaba el sondaje
con tubería de hierro
y no pasa de 170 m. Se
coloca al tramo inferior
de 792 mm. entre
los 792 m. y se cemen-
tan los tubos hasta la
base del sondaje mediante
fricción de concreto
y se continúa perforando, con 7 7/8"
hasta el metro 435.

Perforación en fondo

TRIAS INFERIOR

ALPUJARRIDE

Filtros y cuarcofiltros violáceos

Filtros y cuarcofiltros de tonos
grises

Filtros de tonos violáceos

Filtros y cuarcofiltros de tonos
grises y violáceos

Filtros de tonos violáceos con
abundante fracción arenosa

Filtros y cuarcofiltros de tono
gris

Cuarcitos de tonos claros

Filtros y cuarcofiltros grises

Cuarcitos con intercalaciones cor-
bonatitas de tonos crema muy
resistoliticas

Filtros y cuarcofiltros de tonos
grises
Cuarcitos y rocas carbonatadas
anaranjadas
Cuarcitos de tonos claros

Brecha térmica formada. Suelo
filtros grises y verdes, engastadas

Arrancamiento en
los bordes principales
del fondo

Aprovechamiento

462,5 a 470 m.

Se ha avanzado
muy rápido. El
agua no llega a
separar

132,0' 535 no seca
133,00
N.L. - 80,30

N.L. a 94m

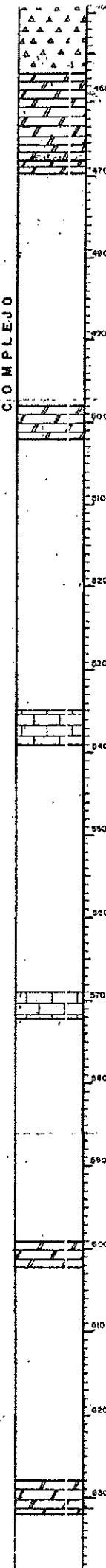
N.L. - 90,30 m.

Recuperación de
40% de agua a
partir de 612 m.

333,0' N.L. 100m
y 332,0' N.L. 93,10m
el 1/14 de 1000m
a 642 a N.L. 63 m
el 18 de Noviembre 35

C O M P L E J O

T R I A S M E D I O S U P E R I O R



Brecia lechancera ferruginosa, por
filitas grises y verdes, eugistos
negros, cuarto y dolomitas negras

Dolomita gris, de grano fino
resistente, muy compacta,
con algunas oquedades, y vetas
fracturadas de calcita

Dolomita negra, de grano fino
muy fracturada

Dolomita gris y negra en grano fino,
compacta, con vetas de calcita y
disociada con oquedades de hierro

Calizas y eugistos y calizas gruesas,
con fragmentos calizos de 10 cm.
más compactas

Calizas eugistos laminados con
patinas grises-blancuzcos fosforescentes

Dolomita gris, muy fracturada con
vetas fosforíticas de estuches
y mineralización de óxido de hierro

Muestra de agua
a 119 m. 1500 µm

Muestra de agua
a 152 m. 1400 µm

Bolsa rota o
628 m. 1500 µm

Bolsa rotada o
628 m. 1100 µm

Dolomita gris muy fracturada con
vetas de cuarzo y mineralización
de óxidos.

ANEXOS Y TRADIMIENTOS

BOMBEOS DE ENSAYO

RECARGA / BORRADA	POZO DE ENSAYO			POZO DE OBSERVACIÓN	
	N.L.	V _s / T	N.D.T.	DISTANCIA (MTS)	DESCENSO
110.15	78.6	17/240 ¹	101		
	111.02	30/1400 ¹	112.83		
	112.15	50/15 ²	122.65		
	89.78	8./1000 ¹	89.3		

MUESTRAS ANALIZADAS (a = metros)

LAMINAS DELGADAS, LEVIGADOS, GRANULOMETRÍAS, COMPLEXOMETRÍAS, ETC. ETC.

• REPARACIÓN EN EL SÓLIDO

AL EJECUTAR EL PRIMER BOMBEO, SE OBSERVÓ QUE HABÍA UNA COMUNICACIÓN ENTRE EL ACUÍFERO SUPERIOR CON EL INFERIOR. SE LLEVA UNA MAQUINA DE PERCUSIÓN PARA LUTRAR Y SE DETECTA UN TAPÓN A LOS 85 METROS DE TAL ENVERGADURA QUE NUBÓ QUE CUBRIERON UNA UNIDUDA DE ROTACIÓN. ESTE EQUIPO SE ENCARGA DE LIMPIAR EL SÓLIDO. LUTRAR DE 0 A 900 METROS CON TUBERÍA DE 175/183 MM. Y CEMENTAR EL ANILLO ENTRE TUBERÍAS.

CARACTERÍSTICAS HIDRAULICAS DEDUCIDAS

S	Q/H	R _Q

CAUDAL / N. DINÁMICO RECOMENDADOS

Q _H	Q _{DI}	Q _{RE}

DATOS SOBRE CALIDAD DEL AGUA

MÉTODO Y CONDICIONES TOMA MUESTRA

RESUMEN ANÁLISIS

CONDUCTIVIDAD	M-2
RESIDUO SECO	5.800 <i>Lambeth</i>
CLORUROS	1.650 MB/1
SÓLFATOS	0.50
NITRATOS	0
TURLEZA	
WIELESID	15. - 6/
SDO/D	800

CONTROL E INTERPRETACIÓN HIDROGEOLÓGICA

• CONTROL Y DIRECCIÓN DE EJECUTOR

ENADIMSA

IGME

FECHA

1968

INSTITUTO GEOLOGICO Y MINERO DE ESPAÑA

SONDEO: INVESTIGACION / INTRUSION MARINA
EN AGUADULCE (CAMPO DE DALIAS)

Raa. Proj. 2244-04-173
argentarie

NR A-11

Benavido por	Part del Proyecto	Ejecutado por
LGME	INTRUSION MARINA	IBERICA DE S.
De ALMERIA	Municipio RÓQUETAS DE MAR	
Paraje o Circu	Llanos de Aquadulce	Propietario terreno: IGME
		Propietario sondeos IGME
Código	1.058	Foto PASADA K Relle:
Coordenadas	Long Lat	
	X 698.175 Y 247.500	
	Altitud m.s.n.m 175 + 6	

Cyberia Biogeografica SUR SISTEMA HIDROLOGICO AUL, Inferior NE

ESTRUCTURA GEOLOGICA Y CONTROL INTERFASE

dedicated private 500 m² NIC 1.1.1 Frei und los Netz privat 72.68
(24-1-88)

Dromaeopteridae hydrocolotes

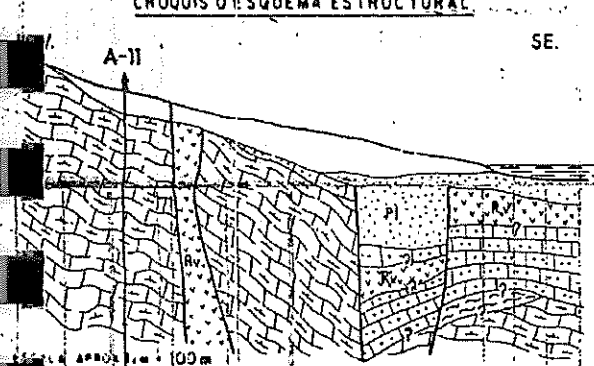
FAILING 2.500

ESTACION CIB. DIRECTA

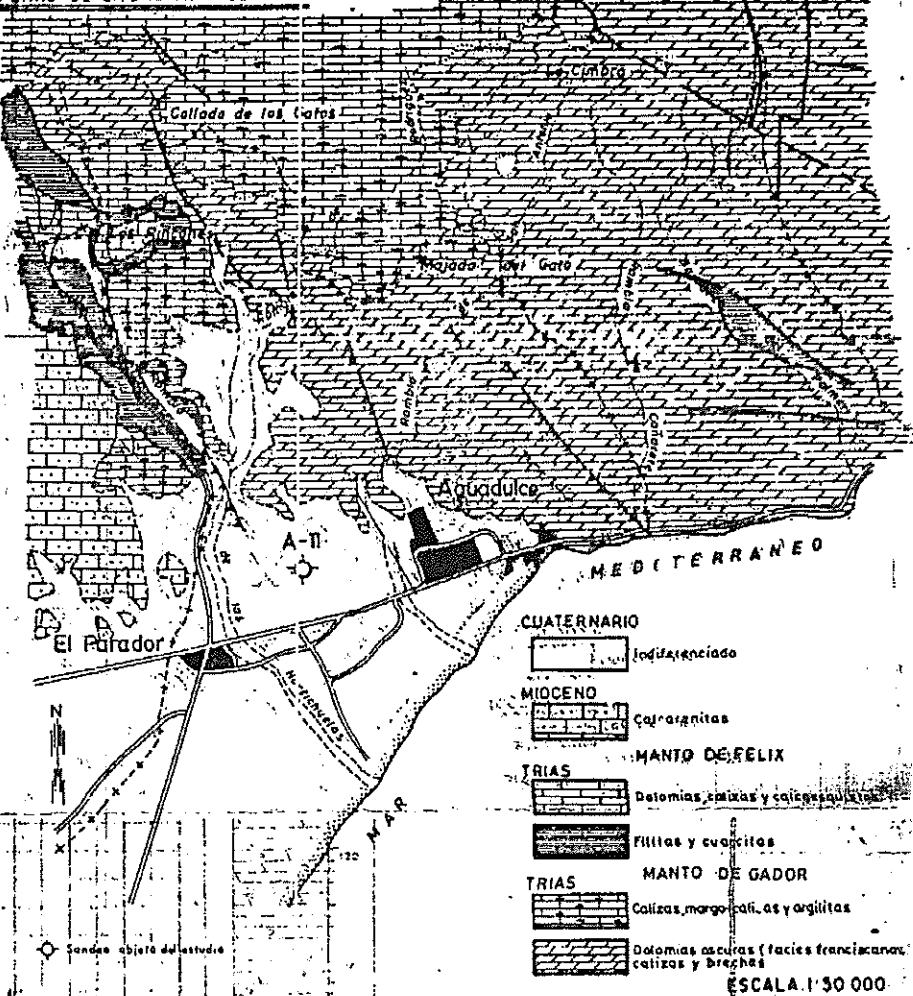
16 NOV 1983 14 PIC 1983

Inspection 8 NOV. 1967 Termination 10 DEC. 1967

GOOGLE DOCUMENTS SCANNING 194



PLANO DE SITUACIÓN Y LEYENDA



DATOS DE CONSTRUCCIÓN Y ACONDICIONAMIENTO DEL SONDEO.

PERFIL LITOESTRATIGRAFICO

OBSERVACIONES COMPLEMENTARIAS

PROfundidad en m.	Altura en m.	Escala vertical 1:500	Esquema mecánico del sondeo	Observaciones del sondista				Descripción de la columna interpretada	Complementaria
				Modo de perforar	Utilidad en la Herramienta	Mancometraje Fluido de trabajo	Nivel libre agua 1,000		
0	0		Se comienza la rotación con 17 1/2"					Cantos de dolomías negras, cglizas de variadas tonalidades, cuarzo y silícas. Tamaño de grava y gravilla, siendo los mayores jamaños hacia la base. Clastos angulosos a subredondeados. La fracción fina está formada por arcilla de tonos marrones oscuros. Permeable.	
1444,5	17		Perforación normal con pequeñas pérdidas de circulación					Brecha carbonatada formada por clastos dolomíticos y cuarzo. Cenozoico carbonatado rudo. Mayor fracción arcillosa amarillo rojizo en el tramo 40-47, en el resto es pobre esta fracción. Permeable	

Mayor fracción arcillosa amarillo rojizo en el tramo 40-47, en el resto es pobre esta fracción. Permeable

Calcita crema y ocre-rojiza de grano fino. Presentan fractura astillosa.

La fracción arcillosa amarilla con mayor proporción en los metros 73 a 78.

Permeable

Brecha carbonatada, formada por gránulos de dolomía negra y caliza cruda. Cemento carbonatado amarillo rojizo. Presenta quebraduras. Permeable.

Dolomía gris y negra, brechificada (dolomita blanca y dolomita negra "Indiana"). Cemento carbonatado mineralizado con óxidos de hierro pardo-amarillo. Abundante venillas de calcita con óxidos de hierro. Permeable.

PERCUSIONES
OFG CONEXIONES
CON FUNCION DEL OFG
Y SUBDIVISIONES ZONAS
DE COMUNICACIONES

SOPORTES GEOLÓGICOS

COLECCIONES

7" [-] 17" m.m.]

8 1/2" (216 m.m.)

Circulación
15-200/o
A 315 m., se saca batería
116 mm.
A 321, se recupera circu-
lación con pérdidas
del 150/o

Pérdidas parciales de
circulación del 150/o

A 315 m., pérdida total
de circulación.
Se saca batería 116 mm.
A 321, se recupera cir-
culación con pérdidas
del 400/o

Pérdidas parciales de
circulación del 200/o

A los 390 m., se saca
batería 116 mm.

A los 390 m., pérdida
total de circulación.
Se saca batería 116 mm.

Se agerra la maniobra
a 411 m.

Se saca batería 116 mm.

M I O I D R A U P L E T R A S C O M O

S I O R A U P L E T R A S C O M O

T R I A S C O M O

Sin Tgc.

Sin Tgc.

Sin Tgc.

Rojizo, Cemento carbonatado rojo - amarillo
y cemento carbonatado gris - amarillo
y cemento carbonatado gris - amarillo
y cemento carbonatado gris - amarillo

Cálizas crema - amarillentas y dolomías grises
brechilificadas.
Cemento carbonatado amarillo - rojizo y frac-
turas astilosas.

Dolomía gris y negra brechilificada. Presenta un
bandeo de dolomita blanca y dolomita negra
"alfranciscana". Abundante mineralización
de óxidos de hierro. Cemento carbonatado,
tenidos de óxidos de hierro. Permeable.

Dolomía gris oscura, brechilificada.
Los clastos de dolomía, muy heterogéneos.
Cemento carbonatado blanquecino - amarillo.
Presenta oquedades, ventanas de arcilla limoniti-
zada y diaclasas de arcilla roja; Aspecto masivo.
Permeable.

Dolomía negra y gris brechilificada, "alfrancisca-
na" con cemento carbonatado rojizo, siendo
más intenso en los metros 350, 370, 371 y 390,
dando a la muestra un tono rojizo. Tramo más
compacto. Permeable.

Dolomía gris oscura brechilificada, con pátinas de
arcilla limonitizada. Tramo fracturado.

Dolomía gris oscura brechilificada y aspecto ma-
sivo. Presenta pátinas de arcilla limonitizada. Y
ventanas de calcita cortadas por pequeñas fractu-
ras llenadas de carbonato amarillento.

SIN. PERFORACIONES DE PIEDRA SECA
venillas de calcita cortadas por pequeñas fracturas rojas de carbonato amarillento.

430
440
450
460
470
480
490
500
510
520
530
540
550

Calcareos grises y calizas margosas con intercalaciones de marga gris, de espesores de varios mm. Presentan estructura opalina con esquistosidad subhorizontal. Se fracturan dejando una pátina gris suave al tacto.

Tramo más blando y en apariencia menos permeable.

Calcareos grises y calizas margosas con intercalaciones de margas de espesores de varios mm y dolomía gris con venas de calcita. Tramo más blando; se fracturan dejando una pátina gris suave al tacto.

Calcareos grises y calizas margosas. Presenta una esquistosidad subhorizontal. Tramo más compacto y menos permeable.

Calcareos grises y calizas margosas con venillas de calcita. Tramo más compacto y menos permeable.

Calcareos grises y calizas margosas con esquistosidad subhorizontal. Tramo más compacto y menos permeable.

Calcareos grises y calizas margosas con abundantes venas de calcita replegada. Presenta textura esquistosa. Tramo más blando y menos permeable.

Se saca batería 116 mm

116
100
90
80
70
60
50
40
30
20
10
0

Se saca batería 116 mm

116
100
90
80
70
60
50
40
30
20
10
0

Se saca batería 116 mm

116
100
90
80
70
60
50
40
30
20
10
0

Se saca batería 116 mm

116
100
90
80
70
60
50
40
30
20
10
0

Se saca batería 116 mm
Final en la perforación
a 551 m

Operación de escalar
de 100 a final con
8 1/2 "

Se intuba con 323/335
m entre 85,4 a 98,45 y
con 7" desde 98,45 el
final.

Circulación con aguja
limpia.

116
100
90
80
70
60
50
40
30
20
10
0

VARIACIONES PÓSTEREAS EN PROFUNDI-
DAD Y ENTUBACIÓN DEL SONDEO.

MACIZO
DE
GRAVAS

Volumen teórico
Volumen real:
Grava de:

GRÁFICA DE ADmisión
MACIZO DE GRAVAS

MUESTRAS DE LA COLUMNA DEL SONDEO ARCHIVADAS EN:

DESARROLLO Y TRATAMIENTOS

BOMBEOS DE ENSAYO

NA.

POZO DE ENSAYO

POZO DE OBSERVACION

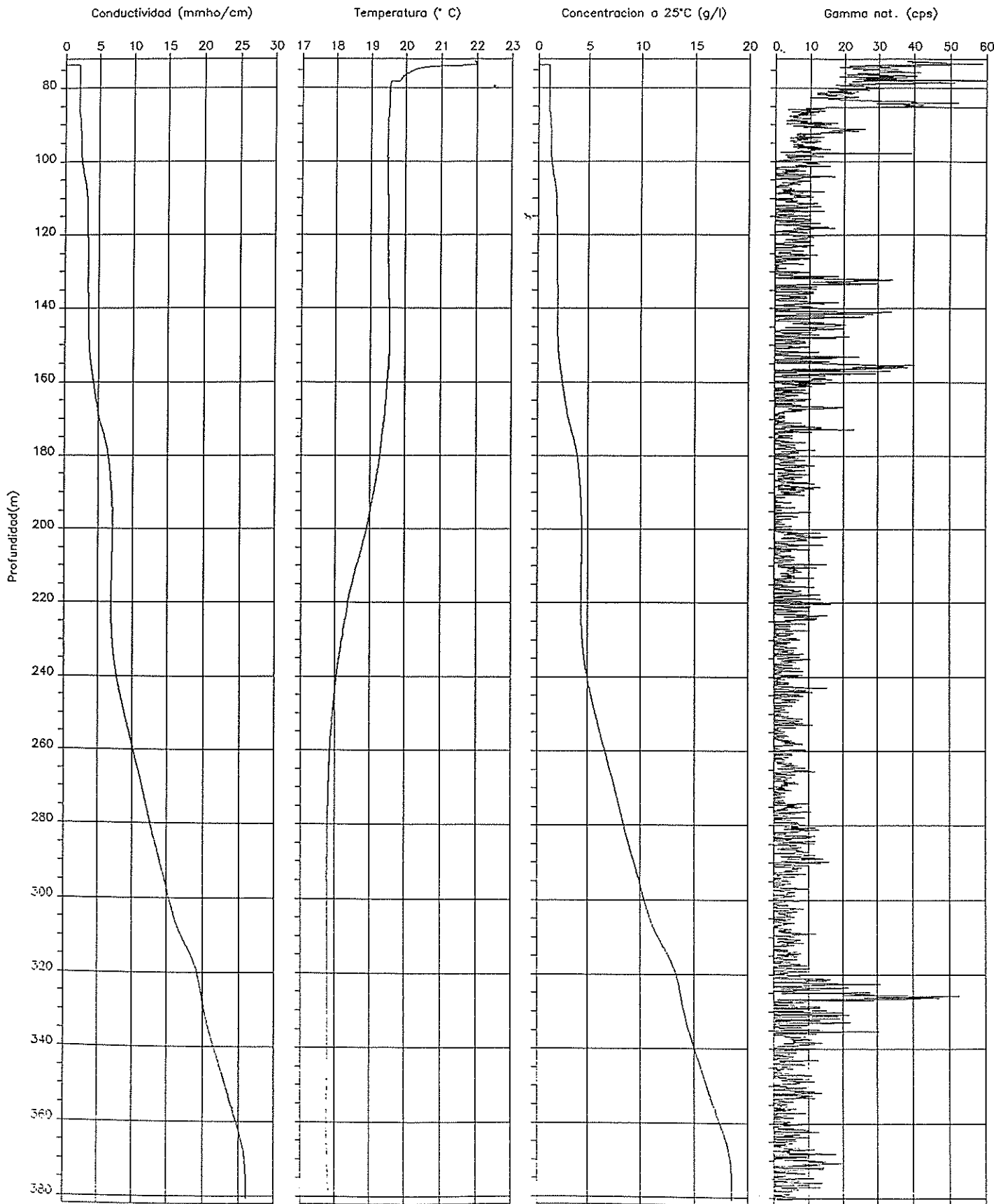
MUESTRAS ANALIZADAS (0. metros)

LAMINAS DEGIDAS, LEVADAS, GRANULOMETRÍAS, COMPLEXOMETRÍAS, ETC. ETC.

Sondeo: A11
Localidad: Aguadulce
Provincia: Almeria
UTM (X): 536900
UTM (Y): 4074700
Cota: 72.95 m
Datum log: Borde tubo

Fecha: 20/10/95
Hora: 10:55
Tramo test.: 72-381 m
Prof. perf.: ?
Nivel fluido: 73.76 m
T ambiente: 29°C
Tiempo de reg.: 1h 20 min

Velocidad: 4 m/min
Equipo: Pro-LOGGER
Sonda: TCGS 1497
Fichero ACL: RG2A11
Fichero ASCII: A11-* .RG2
Consultor: IGT, S.A.



muestras de terreno recogidas durante la perforación (que tienen un espesor representativo en general de 2 a 5m.) y la información suministrada por el sondista sobre la misma. (Las profundidades representativas de las distintas muestras se reflejan en la Tabla 2)

CUATERNARIO

486 BJ cota topográfica en
figura campaña GE, T
(salinidad en registras)

0 - 20 m. Conglomerados poligénicos de cantes heterométricos, en general subredondeados; son dominante dolomíticos, en menor proporción de cuarzo, clastos neógenos, etc. y en raras ocasiones de naturaleza cuarcítica. La matriz es arcillosc- arenosa pardo marrón clara que, probablemente, llega a ser dominante en algunos horizontes. El cemento es carbonatado de color pardo rojizo muy abundante entre el metro 1 y 1,5 (donde da lugar a una costra calcárea), pasando a proporciones variables hacia la base del paquete -dentro de la cual es más abundante en el metro 10.

La consolidación de este tramo es en general de media alta.

PLIOCENO

21 - 37 m. Gravillas/ arenas gruesas y conglomerados, areniscas poligénicas con trama dominante de cantes de cuarzo -muy redondeados- en general menores de 1 a 2cm.. Aparecen regiones con mayor tamaño del esqueleto, llegándose a encontrar incluso bloques superiores a 0,1 m.; hay también cantes dolomíticos, calizos, cuarcíticos, etc.. La matriz es margoso- arenosa fina de color crema amarillento claro, encontrándose en proporciones variables dentro de este

paquete. Aparentemente, los bioclastos son muy escasos inexistentes.

La consolidación del tramo es media.

38 - 45 m. Arenas y areniscas dominante (en proporción cercana al 90%) de cantes de cuarzo muy rodados, con algunos clastos de naturaleza dolomítica, cuarcítica, de micaesquistos, etc.. El tamaño de la trama es fundamentalmente de 3 a 5mm., siendo poco frecuentes los cantes superiores a 1cm. La matriz es margosa-arenosa fina de color crema amarillento claro y parece estar en proporción escasa. Aparentemente los bioclastos son muy escasos a inexistentes.

La consolidación de este tramo es media.

46 - 78 m. Areniscas/ arenas de grano fino con niveles de arenas gruesas y de gravas/ conglomerados. Hay regiones de arenas finas entre los metros 46 y 55, y de arenas más finas entre 61 y 70m.; el tamaño de grano es algo mayor (hasta varios centímetros) entre 56 y 60m., y hay frecuentes niveles de gravillas/gravas entre los metros 70 y 75.

La trama es fundamentalmente de cantes de cuarzo existiendo además cantes de dolomías, cuarcitas micaesquistos, etc.. La matriz es margosa con frecuentes nubes, de coloración amarillenta - excepto entre los 56-60m. en que es más blanquecina; la proporción de ésta es aparentemente escasa entre 46 y 55m. y más abundante entre 56-60m. y 70-75m.. A partir del metro 56 se encuentran restos fósiles.

El cemento es carbonatado, color beige amarillent entre 46 y 55m. y más blanquecino entre los metros 56 a 75. Está en proporciones variables a lo largo del tramo, en general ligado a los mayores tamaños de la trama (metros 56-60 y 61 a 70 fundamentalmente).

La consolidación de este tramo es media a baja, localmente puede ser muy baja.

MIOCENO

79 - 80 m. Calizas blancas de origen arrecifal -con fragmentos de algas y otros restos fósiles- y niveles areniscas finas. Estas pueden tener algunos cantes más gruesos; son fundamentalmente de cuarzo, existiendo también cantes de dolomías, bioclastos, etc.. El cemento es carbonatado beige blanquecino abundante.

La consolidación del tramo es alta.

81 - 85 m. Calizas blancas de origen arrecifal -con fragmentos de algas y otros restos fósiles- y calizas arenosas con alguna región areniscosa con gran abundancia e cemento carbonatado beige blanquecino. Aparecen muchas oquedades.

La consolidación del tramo es alta.

86 - 95 m. Conglomerados/areniscas y gravas/arena fundamentalmente de cuarzo bien rodado (con cantes de dolomías frecuentes y escasos a muy escasos bioclastos). La matriz es de arena fina o arenoso-margosa en proporción abundante, y el cemento carbonatado blanquecino a amarillo en proporción variable -pueden existir regiones poco consolidadas; aparece un cemento de coloración rojiza (ferruginoso?) aparentemente llenando fisuras.

La consolidación del tramo es baja y, localmente, puede ser muy baja.

96 - 97 m. Microconglomerados/ areniscas fundamentalmente de cuarzo bien rodado (con frecuentes cantos de dolomías y muy escasos bioclastos). La matriz es de arena fina y está en escasa proporción. Aparece cemento de naturaleza carbonatada beige blanquecino, y de coloración rojiza, probablemente ferruginoso.

La consolidación del tramo es alta.

98 - 100 m. Calizas arrecifales beige amarillentas, y areniscas de grano fino y microconglomerados. El esqueleto es dominanteamente de cuarzo, con cantos de dolomías en menor proporción. La matriz es margosa-arenosa fina beige amarillenta. El cemento está en proporciones abundantes, es de color beige amarillento y de naturaleza carbonatada.

La consolidación de este tramo es alta.

101 - 105 m. Areniscas muy finas en general, con regiones de conglomerados/ calizas arenosas y algún nivel arenilloso. La trama dominante es de cuarzo, apareciendo también cantos dolomíticos, cuarcíticos, etc.. La matriz es margosa, aparentemente escasa, más abundante hacia el muro (entre los metros 103 y 105). El cemento es carbonatado, muy abundante, y tiene coloración blanquecina.

La consolidación de este tramo es alta.

106 - 113 m. Margas y margas calcáreas con fracción de arena fina, de cuarzo y micas fundamentalmente. La coloración de este tramo es amarillo ocre.

Tramo muy plástico.

114 - 123 m. Areniscas de grano fino y niveles de microconglomerados; la naturaleza de los cantos del esqueleto es fundamentalmente de cuarzo, existiendo escasos

bioclastos. La matriz es margosa beige amarillenta, encontrándose en proporciones muy variables (de escasa a abundante); es más abundante en la base del tramo (metros 120 121 a 123). El cemento, de naturaleza carbonatada y color blanquecino, es abundante en general, aunque pueden existir niveles más sueltos.

La consolidación de este tramo es de alta a media.

124 - 140 m. Calcarenitas/ calcirruditas beige amarillentas. Están formadas esencialmente por fragmentos de algas, lamelibránquios, púas de equinidos, etc.. Aparecen tonalidades blancas por la abundancia de algas. Este paquete es muy poroso entre los 124 y 125m. y más cementado y escaso en algas desde el metro 126 hacia el muro del tramo. A partir del metro 131 aparecen cantos de cuarzo, dolomías otros fragmentos de rocas, que van aumentando su proporción hacia el muro.

La consolidación del tramo es alta.

141 - 143 m. Conglomerados de cantos dominanteamente dolomíticos y de cuarzo (subredondeados los primeros y redondeados los segundos). La matriz es calcarenítica beige amarillenta y el cemento carbonatado del mismo color, apreciando en proporciones abundantes.

La consolidación de este tramo es alta.

144 - 163 m. Calcarenitas/ calcirruditas de coloración blanco beige, con trama dominanteamente de bioclastos (abundan las algas), y areniscas/ conglomerados de cantos fundamentalmente de naturaleza dolomítica. Hay mayor proporción de algas ("caliza de algas") entre los 148 y 150m.; a partir del metro 156 hasta la base del paquete aumenta la proporción de terrígenos.

La matriz es margosa blanquecina, escasa entre 144-147m., y más abundante entre 148 y 155m.; su coloración es algo variable, siendo más amarillenta a partir del metro 148. El cemento es carbonatado y se encuentra en proporciones abundantes.

La consolidación de este tramo es alta.

164 - 173 m. Microconglomerados y areniscas, con coloración gris amarillenta. Los cantes del esqueleto son fundamentalmente dolomíticos; aparecen algunos de cuarzo cuarcita y otros fragmentos de roca, y frecuentes bioclastos de algas entre los metros 166 y 167m. (que llegan a ser muy abundantes en el muro del paquete -168 a 172m.-). Los cantes están muy redondeados y tienen tamaños en general inferiores a 5 mm., siendo escasos los superiores a esta cifra en general. La matriz es calcarenítica margosa, aumentando su proporción hacia la base. El cemento es carbonatado blanco amarillento abundante.

La consolidación de este tramo es muy alta.

174 - 175 m. Conglomerados y areniscas, dominantemente de cantes de cuarzo bien rodados, apareciendo también clastos dolomíticos, cuarcíticos, de micaesquistos, etc. abundantes bioclastos (predominando los fragmentos de algas). La matriz es margosa y está en proporción escasa, el cemento, de naturaleza carbonatada y color blanco amarillento, es abundante.

La consolidación de este tramo es de alta a media.

175 - 196 m. Conglomerados poligénicos, dominantemente de cantes de dolomías, aunque pueden apreciarse otros fragmentos de rocas -cuarcitas, calcoesquistos, etc.-; en general los bioclastos son muy escasos. En la base del tramo aumenta

la proporción de cantes cuarcíticos y de calcoesquistos, aunque continúa el predominio dolomítico (metro 196). Los cantes del esqueleto estarán redondeados y dominan los tamaños de grano inferiores a 1cm., aunque aparecen bloques de varios decímetros. En algunas regiones hay matriz margosa beige blanquecina a grisácea, que pasa a arenosa/arenoso-margosa hacia la base del tramo; se encuentra en mayores proporciones en los metros 181 a 184. El cemento es carbonatado blanquecino en proporción abundante, que pasa a muy abundante hacia la base del tramo.

La consolidación de este tramo es de alta a muy alta.

PERMOTRIAS

197 - 200 m. Cuarcitas, esquistos cuarcíticos de tonos blanco verdoso y marrón vinoso. Eventualmente, al tech. puede haber algún paquete de calcoesquistos de color marrón

681 -D
cota topográfica = 24,08 (al borde del tubo
1987)

4. COLUMNAS LITOLOGICAS

La columna atravesada se compone fundamentalmente de niveles calizos y dolomíticos, con fracciones más detriticas en su parte alta, atravesando incluso un paquete filítico, dificultando la perforación. En esquema se atraviesan materiales de la Unidad de Felix y materiales de la Unidad de Gádor.

Los tramos definidos se esquematizan como siguen:

- 0 - 72 Depósitos continentales, formados por cantos de dolomias, calizas y cuarzo, tamaño de grava y grava, subredondeados a subangulosos, matriz arcillosa de tonos marrón rojiza. Cuaternario.
- 72 - 84 Arcilla marrón rojiza con cantos gruesos de dolomia negra. Cuaternario.
- 84 - 101 Conglomerado poco cementado de cantos de cuarzo y dolomia negra muy redondeados. Matriz limosa marrón clara. Mioceno superior.
- 101 - 104 Conglomerados de cantos de cuarzo, dolomia y clastos de caliza blanco-rosada. Limos grises. Mioceno Superior.
- 104 - 129 Filitas grises aceradas con pátinas de óxido de hierro. PERMOTRIAS.

- 129 - 135 Cuarcitas blanco-verdosas y filitas grises. Permo-trias. Ambos tramos pertenecen a la Unidad de Félix.
- 135 - 148 Calizas de tonos "caquis" y rojizos, recristalizadas, en una "pasta" amarillo-ocre. TRIAS. Unidad de Gádor.
- 148 - 152 Dolomias negras con vetas de calcita blanca.
- 152 - 174 Calizas gris verdosas con pátina rojiza.
- 174 - 187 Arcilla roja ladrillo con cantos calizo-dolomíticos.
- 187 - 199 Calizas de tonos amarillos, grises y "caquis" en una "pasta" amarillenta a parda.
- 199 - 211 Dolomia negra "afranciscanada".
- 211 - 229 Caliza amarillo rojiza y blanco rojiza en una "pasta" amarillo ocre.
- 229 - 246 Calizas crema y grises.
- 246 - 251 Dolomias grises y calizas violáceas-rojizas.
- 251 - 255 Sin muestra.
- 255 - 266 Dolomias grises y caliza recristalizada de tonos blanquecinos.
- 266 - 271 Sin muestra.
- 271 - 273 Dolomia gris verdosa con pátinas rojizas.

- 273 - 275 Sin muestra.
- 275 - 276 Dolomia gris.
- 276 - 279 Sin muestra.
- 279 - 284 Dolomia gris.
- 284 - 288 Sin muestra.
- 288 - 297 Dolomias ocres.
- 297 - 304 Sin muestra.
- 304 - 308 Dolomias ocres.
- 308 - 314 Sin muestra.
- 314 - 324 Dolomias grises-amarillentas.
- 324 - 328 Dolomias grises oscuras.
- 328 - 332 Sin muestra
- 332 - 334 Caliza crema y amarillas en una "pasta" amarilla.
- 334 - 350 Sin muestra.
- 350 - 362 Dolomias grises y calizas crema y rojizas.

Como se observa en la columna, la Unidad de Cádor, esta formada en este punto por una alternancia de calizas y dolomias de distintas tonalidades. Su techo se corta en el metro 135 y no se llega a cortar la base filítica de la Unidad.

A N E X O n° 3

Explicaciones de GEONICS

GEONICS Ltd.

1745 Meyerside Dr., unit 8
Mississauga, Ont. L5T 1C6
CANADA

LEADERS IN ELECTROMAGNETICS

Tel: 905 670 9580
Fax: 905 670 9204
Tlx: 06 968688

To: A. Granda
I.G.T. MADRID
FAX: 011 341 519 5150

Angel:

Regarding the soundings you mailed:

To fit the problem soundings with a 1D layered earth requires an unreasonably conductive basement, as you have found. However, plotting log voltage vs linear time, the responses are seen to behave as exponential decays with decay rates 6 ms and faster. As these rates are short compared to the latest gate times, could it be that the interruptions are limited in thickness and width, with resistive basement and walls on at least two sides? A layer of thickness T, width W and conductivity C would give a time constant

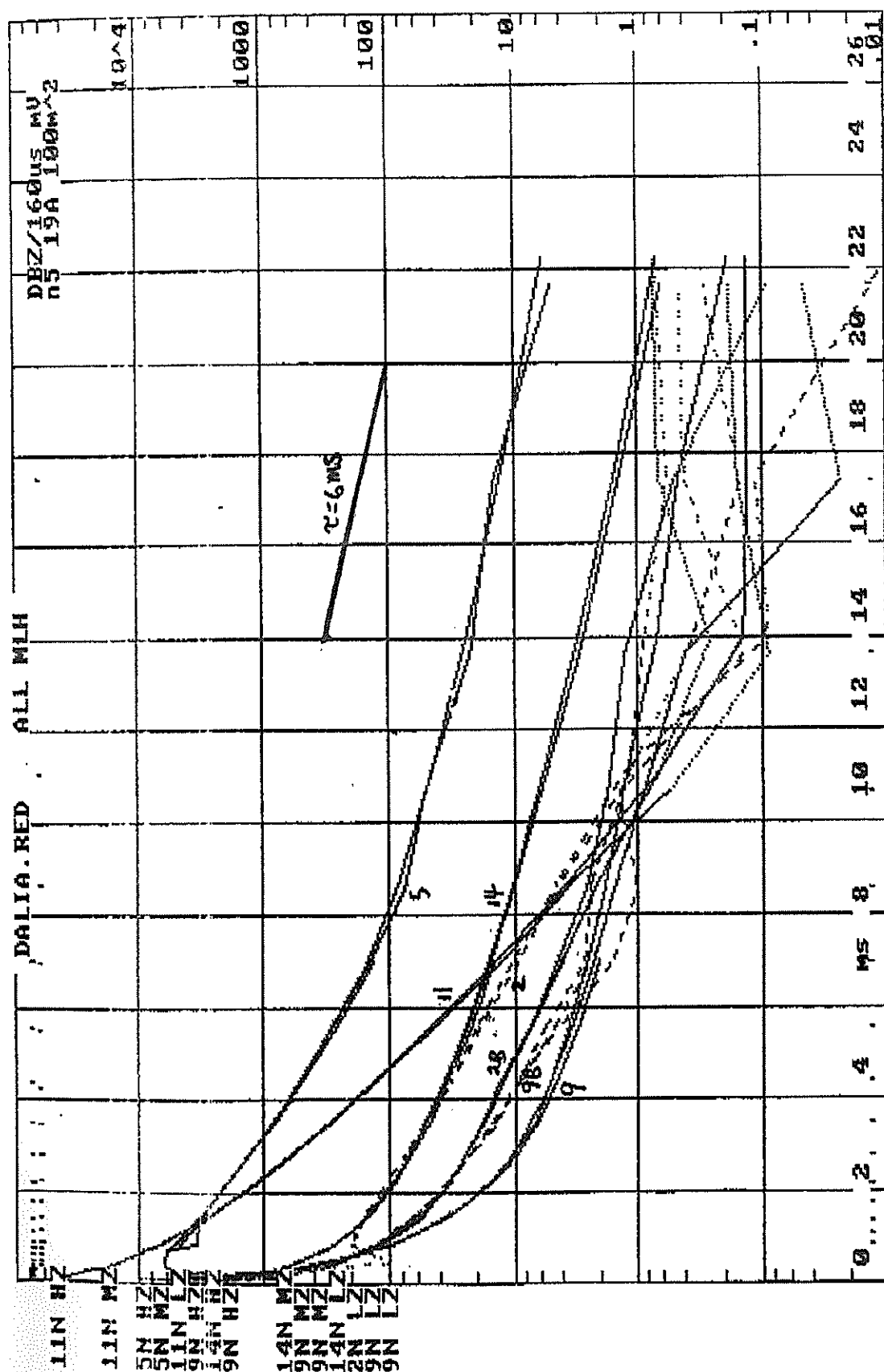
$$\tau = \mu C T W / 10, \text{ where } \mu \text{ is about } 10^{-6}$$

For a conductivity of $2 S/m^2$, a time constant of 6ms would indicate a crosssection of $30000 m^2$; eg 100m thick x 300m wide.

Let me know whether this makes any sense or not. I will pass it along to Miro for his comments next week.

Best regards


Gil



GEONICS Ltd.

LEADERS IN ELECTROMAGNETICS

1745 Meyerside Dr, unit 8
Mississauga, Ont. L5T 1C6
CANADA

Tel: 905 670 9580
Fax: 670 9204
Tlx: 06 968588

To A. Granda
I.G.T., MADRID
FAX: 011 341 519 5150

From: Gil Levy

Apr. 3/96

1 pg

Angel:

I spoke to Miro regarding your soundings and he pointed out that, in addition to 3D effects, possible causes of this type of behaviour include instrumental offsets (up to about .2mV raw for your RX), ground IP, metallic objects too close to the RX coil (eg RX chassis closer than 6m), and things like power lines and fences.

I tried adding offsets of up to .35mV to the L data for sounding 14, and found that while the fit with a resistive basement improved a good deal, an impossibly conductive basement always fit still better. The layer parameters for best fit didn't change much with offset.

It would be interesting to know whether the aquifer cross-sections could be small enough for 3D effects to be important. If so, it might make sense to use the resistive basement interpretation, dropping the later measurements which are too resistive.

Let us know what you think.

Best regards


Gil